

Europäisches Patentamt
European Patent Office
Office européen des brevets



(11) EP 0 699 753 A2

(12)

EUROPÄISCHE PATENTANMELDUNG

(43) Veröffentlichungstag:
06.03.1996 Patentblatt 1996/10

(21) Anmeldenummer: 95110631.9

(22) Anmeldetag: 07.07.1995

(51) Int. Cl.⁶: C12N 15/12, C07K 14/705,
C12N 5/10, C07K 16/18,
C12N 15/11, C12Q 1/00,
G01N 33/50

(84) Benannte Vertragsstaaten:
AT BE CH DE DK ES FR GB GR IE IT LI LU NL PT
SE

(30) Priorität: 13.07.1994 DE 4424577

(71) Anmelder: HOECHST AKTIENGESELLSCHAFT
D-65929 Frankfurt am Main (DE)

(72) Erfinder:
• Koepsell, Hermann, Prof Dr.
D-97072 Würzburg (DE)
• Gründeman, Dirk, Dr.
D-69123 Heidelberg (DE)
• Gorboulev, Valentin, Dr.
D-97078 Würzburg (DE)

Bemerkungen:

The applicant has subsequently filed a sequence
listing and declared, that it includes no new matter.

(54) **Transportprotein, das den Transport von kationischen Xenobiotika und/oder Pharmaka bewirkt, dafür kodierende DNA-Sequenzen und deren Verwendung**

(57) Es wurde ein Transportprotein kloniert, das in Leber- und Nierenepithelzellen sowie in Darmzellen vorkommt und für den Transport von kationischen Pharmaka und/oder Xenobiotika verantwortlich ist. Dieses Transportprotein wurde durch die DNA und die Amino-

säuresequenz näher beschrieben und es werden verschiedene Verwendungen offenbart, die insbesondere für die Entwicklung von neuen Medikamenten von großer Bedeutung sind.

Fig. 2a₁

```
1      GCAGGCCTGGCTAAACTGGTGAGGGCCCTACCCAGCCATGCCACCGTGATGATCTCT
      MetProThrValAspValLeu
61      GGAGCAAGTTGGAGACTTTGGCTGTTCCAGAAACAAGCCTTCTCTTGCTATGCCCTGAT
9      GluGlnValGlyGluPheGlyTrpPheGlnLysGlnAlaPheLeuLeuLeuCysLeuIle
121     CTCAGCTTCTTTAGCTCCCATCTATGTGGGCATCGTCTTCTGGGCTTACCCCTGGACA
29     SerAlaSerLeuAlaProIleTyrValGlyIleValPheLeuGlyPheThrProGlyHis
181     TTATTGCCAGAAATCCTGGGGTGGCTGAGCTGAGCCAGCGGTGTCCCTGGAGCCAGGCAGA
49     TyrCysGlnAsnProGlyValAlaGluLeuSerGlnArgCysGlyTrpSerGlnAlaGlu
241     GGAGCTGAATACACTGTGCCGGCCCTGGGACCTTCGGACGAGGCCCTCCTCCTCAGCCA
69     GluLeuAsnTyrThrValProGlyLeuGlyProSerAspGluAlaSerPheLeuSerGln
301     GTGCATGAGGTATGAGGTGGACTGGAACACAGACACCCCTTGACTGTGTGGACCCACTGTC
89     CysMetArgTyrGluValAspTrpAsnGlnSerThrLeuAspCysValAspProLeuSer
361     CAGCCTGGTTGCCAACAGGAGTCAGTTGCCATTGGGCCCCCTGCCAGCATGGCTGGGTATA
109     SerLeuValAlaAsnArgSerGlnLeuProLeuGlyProCysGluHisGlyTrpValTyr
421     CGACACTCCCGGCTCCTCCATCGTCACTGAGTTTAACTGGTGTGTGGAGACCGCTGGAA
129     AspThrProGlySerSerIleValThrGluPheAsnLeuValCysGlyAspAlaTrpPlys
481     AGTGGACCTTTTTCAGTCTCTGTGAACTTGGGCTTCTTCTGGGCTCCCTGGTTGTGGG
149     ValAspLeuPheGlnSerCysValAsnLeuGlyPhePheLeuGlySerLeuValValGly
541     TTACATTGCAGACAGGTTTGGCCGTAAGCTCTGTCTTGGTGACCAACGCTGGTCACATC
169     TyrIleAlaAspArgPheGlyArgLysLeuCysLeuLeuValThrThrLeuValThrSer
```

EP 0 699 753 A2

Fig. 2a₁ (Forts.)

601 TGTCTCCGGTGTGCTAACACGGGTGGCCCGAGACTATACATCCATGTGCTTTTGGCCT
 189 ValSerGlyValLeuThrAlaValAlaProAspTyrThrSerMetLeuLeuPheArgLeu
 661 GCTCAGCGCATGGTCAGCAAGGCGAGCTGGGTGTCCGGCTATACCTTGATCAGAGATT
 209 LeuGlnGlyMetValSerLysGlySerTrpValSerGlyTyrThrLeuIleThrGluPhe
 721 TCTCCGCTCTGGCTACAGGAGAACCCGCCATTTCACACAGATGGCCTTCACACTGGC
 229 ValGlySerGlyTyrArgArgThrThrAlaIleLeuTyrGlnMetAlaPheThrValGly
 781 GCTAGTGGGGCTTGGCGGGTGGCTATGCCATTCCAGACATGGCCTTGGCTCAGCTAGC
 249 LeuValGlyLeuAlaGlyValAlaTyrAlaIleProAspTrpArgTrpLeuGlnLeuAla
 841 TGTCTCCCTGCTACCTTCTCTCTCTGCTATTACTGGTTTGTCCAGAAATCCCCCG
 269 ValSerLeuProThrPheLeuPheLeuLeuTyrTyrTrpPheValProGluSerProArg
 901 GTGGCTCTTGTCCCAAGAGAACCCAGCCAGCTCTCAGGATAATGGAGCAATTCACA
 289 TrpLeuLeuSerGlnLysArgThrThrArgAlaValArgIleMetGluGlnIleAlaGln
 961 GAAGAAGGGAGGCTCCCTCTCTCTGACCTGAAGATGCTCTCCCTTGAGGAGATGCCCTC
 309 LysAsnGlyLysValProProAlaAspLeuLysMetLeuLysLeuGluGluAspAlaSer
 1021 AGAAAAGCGAAGCTCTCTTTGGCGAGCTTTCCGCACTCCCAACCTGAGGAAGCACAC
 329 GluLysArgSerProSerPheAlaAspLeuPheArgThrProAsnLeuArgLysHisThr
 1081 CGTCATCTGATCTATCTATGCTTCTCTGTGCTGTGCTGTACAGGGCTCATCATGCA
 349 ValIleLeuMetTyrLeuTrpPheSerCysAlaValLeuTyrGlnGlyLeuIleMetHis
 1141 CGTGGAGCCACAGGGGCCAACCTCTACCTGGACTTCTTTATTTCTCTCTGCTGAATT
 369 ValGlyAlaThrGlyAlaAsnLeuTyrLeuAspPhePheTyrSerSerLeuValGluPhe

Fig. 2a₁ (Forts.)

1201 CCCCAGGCGCTTCATCATCTCTGTCACCATGACCGCATGGCGCATCTACCCAATAGC
 389 ProAlaAlaPheIleIleLeuValThrIleAspArgIleGlyArgIleTyrProIleAla
 1261 GGCTCGAATCTGTGACGGGGGAGGCTGCTCTCATGATCTTTATCCCGCARGAGCT
 409 AlaSerAsnLeuValThrGlyAlaAlaCysLeuLeuMetIlePheIleProHisGluLeu
 1321 GCACTGCTTGAACGTTACCTCGGCTCTCTTGGCGGTATGGCGGCCACCATGTCTGCA
 429 HisTrpLeuAsnValThrLeuAlaCysLeuGlyArgMetGlyAlaThrIleValLeuGlu
 *
 1381 GATGCTCTGCTGCTGAACGCTGAGCTGTACCTACATTCATCAGGAATCTTGGCATGAT
 449 MetValCysLeuValAsnAlaGluLeuTyrProThrPheIleArgAsnLeuGlyMetMet
 1441 GGTATGCTCTGCTGCTGACCTGGGTGGGATCTTCACCCCTTCATGCTGTTCAGGCT
 469 ValCysSerAlaLeuCysAspLeuGlyGlyIlePheThrProPheMetValPheArgLeu
 1501 GATGGAGTTTGGCAAGCCCTGCCCTCATTTCGTTGGGGTTTGGGCTGACTGCTGG
 489 MetGluValTrpGlnAlaLeuProLeuIleLeuPheGlyValLeuGlyLeuThrAlaGly
 1561 GGCCATGACTTCTCTCTCCAGAGACCAAGGTGTGGCTTGGCTGAGACTATTGAAGA
 509 AlaMetThrLeuLeuLeuProGluThrLysGlyValAlaLeuProGluThrIleGluGlu
 1621 AGCAGAGAACCTGGGAGGAGGAATCAAGGCCAAGAAAAACGATTTCAGCTTCAGCT
 529 AlaGluAsnLeuGlyArgArgLysSerLysAlaLysGluAsnThrIleTyrLeuGlnVal
 1681 CCAAACAGGCAAGCTCTCACTACCTGACAGGATGCTGTGCCAGGAGCTGACTGGCAGA
 549 GlnThrGlyLysSerSerSerThr
 1741 GAGAAAGGAGCACTTGCACCTTGGAGGATTCCCAAGGCTTTGCCCTTTCAGACTCTTG
 1801 TATATATCCAGCAGGTTCCAAATCAACTACCAACCTTAAGACTTTTGTGAAGGCCAAA
 1861 AAAAAAAAAAAAAAAAAAAAAA

Beschreibung

Bei den Säugetieren und insbesondere beim Menschen werden kationische Pharmaka und Xenobiotika mit unterschiedlicher molekularer Struktur, Katecholamine und andere endogene Kationen durch polyspezifische Transportproteine in der Niere und Leber ausgeschieden, die in luminalen und basolateralen Plasmamembranen lokalisiert sind. Diese Transportproteine unterscheiden sich in funktioneller Hinsicht von den bereits bekannten Monoamintransportproteinen in neuronalen Plasmamembranen und synaptischen Vesikeln und von den ATP-abhängigen Exportproteinen für hydrophobe Pharmaka ("Multidrug"-Transportproteine).

Im Rahmen der vorliegenden Erfindung wurde zunächst eine komplementäre DNA-Sequenz aus Rattennieren isoliert, die für ein 556 Aminosäuren langes Membranprotein kodiert, das im folgenden als OCT1 bezeichnet wird. Dieses Transportprotein wirkt in der basolateralen Membran der proximalen Nierentubuli (Nierenkanälchen) und in Hepatozyten als Kationentransporter für verschiedene Zielmoleküle.

Das mit OCT1 bezeichnete Transportprotein ist nicht homolog zu irgendeinem anderen bisher bekannten Protein, weist eine bisher einzigartige Verteilung von hydrophoben und negativ geladenen Aminosäuren auf und wird ausschließlich in Nieren, Leber und Darm gefunden. Das OCT1-Transportprotein transportiert Kationen mit unterschiedlicher Struktur, wird durch eine Vielzahl von kationischen Substanzen mit unterschiedlicher Hydrophobizität gehemmt und besitzt andere funktionelle Eigenschaften als ein schon bekanntes polyspezifisches Transportprotein ("Multidrug-Transporter"), welches ausschließlich sehr hydrophobe Substanzen transportieren kann. Das Transportprotein OCT1 wird als ein neuer Prototyp eines polyspezifischen Transportproteins in Säugetieren angesehen.

Viele organische Kationen einschließlich häufig verwendeter Pharmaka wie Antihistaminika, Antiarrhythmika, Sedativa, Opiate, Diuretika, Zytostatika und Antibiotika werden in den Urin und in die Galle mittels aktiven Transports durch Nierenepithelzellen und Hepatozyten ausgeschieden. Bei der aktiven Sekretion in der Niere werden die Kationen durch polyspezifische Transportsysteme in der basolateralen und luminalen Plasmamembran der proximalen Nierentubuli transportiert. Beide Systeme unterscheiden sich in funktioneller Hinsicht. Die Transportproteine in der basolateralen Membran, die strukturell verschiedene Kationen wie Tetraethylammonium (TEA), N¹-Methylnicotinamid (NMN) und N-Methyl-4-phenylpyridinium (MPP) transportieren können, werden durch eine Vielzahl von strukturell unterschiedlichen extrazellulären Kationen inhibiert. Diese Transportproteine können durch ein im Inneren negatives Membranpotential und durch einen Gegentransport von intrazellulären Substraten angetrieben werden. In der luminalen Membran wurden zwei Transportsysteme beschrieben, die durch einen nach außen gerichteten Protonengradienten angetrieben werden, aber durch das Membranpotential nicht beeinflusst werden. Das eine dieser Transportsysteme hat eine breite Substratspezifität, die mit der des Kationentransportsystems in der basolateralen Membran von proximalen Nierentubuli vergleichbar ist. Aufgrund funktioneller Ähnlichkeiten wird angenommen, daß dieses polyspezifische Transportsystem der luminalen Membran mit dem extraneuronalen Transportsystem für Noradrenalin im Herzen identisch ist.

Gegenstand der vorliegenden Erfindung sind daher Transportproteine, die für den Transport von kationischen Xenobiotika und/oder Pharmaka aus dem Blut in die Leber- oder Nierenepithelzellen oder für den Transport von kationischen Xenobiotika oder Pharmaka aus dem Darm in den Blutkreislauf zuständig sind.

Die erfindungsgemäßen Transportproteine sind dadurch gekennzeichnet, daß sie eine Teilsequenz von wenigstens sieben Aminosäuren ausgewählt aus der Aminosäuresequenz aufweisen, die in Figur 2a₁, Figur 2a₂ oder Figur 2a₃ dargestellt ist. In bevorzugter Ausführungsform weist die Teilsequenz aus der Figur 2a₁, 2a₂ oder 2a₃ eine Länge von wenigstens 10 Aminosäuren und in einer besonders bevorzugten Ausführungsform eine Länge von wenigstens 14 Aminosäuren auf.

Gegenstand der vorliegenden Erfindung sind auch DNA-Sequenzen, die für ein erfindungsgemäßes Transportprotein kodieren. Die erfindungsgemäßen DNA-Sequenzen weisen eine Teilsequenz von wenigstens 21 Basen ausgewählt aus der in Figuren 2a₁, 2a₂ oder 2a₃ gezeigten Sequenz auf. In einer besonders bevorzugten Ausführungsform ist die Teilsequenz wenigstens 30 Basen und in einer ganz besonders bevorzugten Ausführungsform wenigstens 42 Basen lang.

Von besonderer Bedeutung sind die erfindungsgemäßen Transportproteine und DNA-Sequenzen in der medizinischen und pharmakologischen Forschung. Mit Hilfe der erfindungsgemäßen DNA-Sequenzen ist es beispielsweise möglich, epitheliale Zelllinien herzustellen, die ein erfindungsgemäßes Transportprotein permanent exprimieren. Hierzu wird mit an sich bekannten gentechnologischen Methoden die für das Transportprotein kodierende DNA-Sequenz in einen geeigneten Vektor eingebaut, mit dem eine geeignete epitheliale Zelllinie, die das Transportprotein bisher nicht exprimierte, transformiert wird. Dadurch können Zelllinien erhalten werden, die ein erfindungsgemäßes Transportprotein konstant exprimieren.

Derartige epitheliale Zelllinien, die die Transportproteine exprimieren, können zur Testung der zu erwartenden renalen und biliären Ausscheidung sowie der intestinalen Resorption von kationischen Pharmaka und/oder Xenobiotika in vitro eingesetzt werden. Mit Hilfe derartiger Zelllinien kann also bereits in vitro, d.h. ohne aufwendige Tierexperimente, festgestellt werden, ob und wenn ja in welchem Ausmaß Pharmaka oder auch andere biologisch aktive Wirkstoffe ausgeschieden oder aus dem Darm in den Blutkreislauf resorbiert werden.

Mit Hilfe der erfindungsgemäßen DNA-Sequenzen können solche Transportproteine isoliert werden, die zu den erfindungsgemäßen Transportproteinen homolog sind. Es ist daher möglich, die entsprechenden Transportproteine aus allen Säugerspezies und aus dem Menschen zu isolieren, die zu den erfindungsgemäß offenbarten Transportproteinen homolog sind. Zwei entsprechende humane Sequenzen wurden bereits ermittelt. Eine Möglichkeit, wie eine derartige Isolierung erfolgen kann, ist die inzwischen allseits bekannte Polymerase Kettenreaktion. Es müssen daher nur geeignete DNA-Sequenzen aus der in Fig. 2a₁, 2a₂ oder 2a₃ gezeigten Sequenz ausgewählt werden, die als Primer für die Polymerase Kettenreaktion dienen können. Mit Hilfe dieser Primer kann die Isolierung von homologen Transportproteinen ohne Schwierigkeiten erfolgen.

Eine weitere Verwendungsmöglichkeit der erfindungsgemäßen Transportproteine und/oder der erfindungsgemäßen epithelialen Zelllinien ist die Entwicklung von kationischen Signalmolekülen, die an biologisch aktive Verbindungen, wie Pharmaka, angehängt werden können, um deren renale und biliäre Ausscheidung oder ihre intestinale Resorption zu verändern. Es ist hierdurch möglich, verschiedene chemische Strukturen dahingehend zu überprüfen, ob sie eine Ausscheidung des damit verbundenen Moleküls über die Niere bzw. Leber begünstigen und eine Resorption aus dem Darm in den Blutkreislauf fördern, oder ob sie das jeweilige Gegenteil bewirken.

Insbesondere können die erfindungsgemäßen Transportproteine auch zur Entwicklung von Antikörpern, insbesondere monoklonalen Antikörper, dienen, mit deren Hilfe die Aufnahme von Pharmaka in Nierentubuluszellen blockiert werden kann, um die Nephrotoxizität von kationischen Pharmaka zu erniedrigen.

Weiterhin kann aufgrund der erfindungsgemäßen Offenbarung die Entwicklung von spezifischen Pharmaka erfolgen, die die Ausscheidung von bestimmten anderen kationischen Pharmaka und/oder Xenobiotika beeinflussen. Hierdurch ist es möglich, pharmakologisch wirksame Substanzen zu entwickeln, die die Aufnahme von anderen Wirkstoffen beeinflussen. Eine derartige Beeinflussung kann entweder darin bestehen, daß die Aufnahme eines Wirkstoffes aus dem Darm gefördert oder verhindert wird oder daß die Ausscheidung eines Wirkstoffes in der Niere und Leber gefördert oder verhindert wird.

Eine weitere bevorzugte Verwendung der erfindungsgemäßen DNA-Sequenzen ist die Entwicklung von Antisense-Nucleotidsequenzen. Hierbei können Nucleotidsequenzen entwickelt werden, die die Transkription und/oder Translation der entsprechenden Gene dadurch verhindern, daß sie an die entsprechenden natürlich vorkommenden komplementären Nucleotidsequenzen binden.

Eine weitere bevorzugte Verwendung der erfindungsgemäßen DNA-Sequenzen ist ihre Verwendung in molekularen Testkits zur Diagnose von molekularen genomischen Defekten in renalen und/oder biliären Kationenausscheidungsmechanismen. In solchen molekularen Testkits können die DNA-Sequenzen in einer besonders bevorzugten Ausführungsform zur Durchführung der Polymerase Kettenreaktion verwendet werden. Dabei werden anhand der bekannten DNA-Sequenz Primersequenzen ausgesucht und synthetisiert, mit deren Hilfe in der Polymerase-Kettenreaktion das für den Kationentransporter des jeweiligen Patienten kodierende Gen amplifiziert und bezüglich genetischer Mutationen untersucht werden kann.

Anhand der nachfolgenden Beispiele, die jedoch die Erfindung nicht einschränken sollen, wird das Wesen der vorliegenden Erfindung näher erläutert.

Beispiel 1

Für die Klonierung der für das Transportprotein kodierenden Gene wurden zunächst doppelsträngige cDNA mit glatten Enden von Poly(A)⁺ RNA aus Rattennieren hergestellt, wobei ein NotI-Oligo(dT)Primer für die Synthese des ersten Stranges verwendet wurde. Nachdem EcoRI-Adaptoren, die einen SP6 RNA Polymerase Promotor enthalten, an die cDNA angebracht wurden, wurde mit NotI verdaut, der Größe nach aufgetrennt (1,5 bis 2,3 kb) und in die EcoRI Restriktionsschnittstelle des Vektors pBluescript (Stratagene) eingebaut und anschließend in den E.coli-Stamm DH10B elektroporiert. Aus Transformantenpools wurde die Plasmid-DNA isoliert, mit NotI linearisiert und mit Hilfe der SP6-RNA Polymerase transkribiert. Die cRNA wurde durch Poly(A)⁺ Selektion gereinigt und in einer Konzentration von 20 bis 40 ng pro Oozyte injiziert. Die Oozyten wurden inkubiert und die durch NMN inhibierbare ¹⁴C-TEA-Aufnahme wurde gemessen. Durch ein gezieltes Suchverfahren wurde aus der Genbibliothek ein einzelner Klon isoliert, der das für einen Kationentransporter aus der Niere kodierende Gen enthielt. Die Isolierung dieses Klons war nur nach Optimierung und teilweiser Veränderung der angewandten Methoden möglich. Zum Sequenzieren identifizierter DNA wurden überlappende Restriktionsfragmente von OCT1 subkloniert und an beiden Strängen vollständig sequenziert.

Das aus einer Ratten-Nieren-Genbank isolierte Gen OCT1, welches aus einem 1.882 Basenpaar langen cDNA-Fragment bestand, wurde in *Xenopus laevis* Oozyten exprimiert. Hierbei wurden die Oozyten nach RNA-Injektion drei Tage mit 5 mM Hepes-Tris-Puffer, pH 7,5, 110 mM NaCl, 3 mM KCl, 2 mM CaCl₂, 1 mM MgCl₂ (im folgenden als ORi bezeichnet) inkubiert. Der Transport wurde durch Inkubation der Oozyten mit ¹⁴C-TEA (Tetraethylammonium) gemessen, das in ORi (22°C) gelöst wurde. Weiterhin wurden Versuche mit unterschiedlichen Na⁺ und K⁺ Konzentrationen sowie Versuche in der Gegenwart von Ba²⁺, bei verschiedenen pH-Werten und in Gegenwart unterschiedlicher Inhibitoren durchgeführt. Da bei den verwendeten ¹⁴C-TEA-Konzentrationen die durch exprimiertes OCT1-Protein verursachte Aufnahme in ORi-Puffer für mehr als 90 Minuten linear war, wurden die Aufnahmeraten nach 90-minütiger

Inkubation bestimmt. Für die Messungen mit veränderten Konzentrationen an Na^+ , K^+ , H^+ und in Gegenwart von Inhibitoren wurden die Oozyten zuerst 30 Minuten unter den entsprechenden Pufferbedingungen inkubiert und die Aufnahmeraten wurden dann während einer 30-minütigen Inkubationsperiode mit ^{14}C -TEA bestimmt. Nach der Inkubation mit ^{14}C -TEA wurde die Aufnahme unterbrochen und die Oozyten gewaschen und hinsichtlich der aufgenommenen Radioaktivität untersucht.

Es wurde also das 1.882 Basenpaar lange cDNA-Fragment unter Verwendung von *Xenopus laevis* Oozyten (wie oben beschrieben) exprimiert; das so exprimierte OCT1-Protein induzierte eine ^{14}C -Tetraethylammonium (^{14}C -TEA) Aufnahme, die durch NMN (N¹-Methylnicotinamid) inhibiert werden konnte, wobei die Aufnahme mehr als 250-fach über den Kontrollwerten lag, bei denen Wasser in die Oozyten injiziert wurde. Die Ergebnisse sind in Figur 1a graphisch dargestellt.

Die klonierte OCT1 cDNA enthält einen offenen Leserahmen, der für ein Membranprotein mit 556 Aminosäuren kodiert. Die Aminosäuresequenz ist in der Figur 2a₁ dargestellt. Sie zeigt keine Ähnlichkeiten mit den Proteinen in Datenbanken.

Die Expression der ^{14}C -TEA-Aufnahme war abhängig von der Menge der injizierten OCT1-cRNA. Diese Ergebnisse sind in der Figur 1b dargestellt. Die cRNA-Abhängigkeit der exprimierten Aufnahme konnte durch die Hill-Gleichung mit $n = \text{etwa } 2$ beschrieben werden.

Die Substratabhängigkeit der von dem Transportprotein OCT1 bewirkten ^{14}C -TEA-Aufnahme folgte der Michaelis-Menten-Gleichung. Diese Ergebnisse sind in der Figur 1c dargestellt. Der geschätzte K_m -Wert von $95 \pm \mu\text{M}$ ähnelte dem K_m -Wert ($160 \mu\text{M}$), der in früheren Versuchen für den Kationentransport über die basolaterale Membran proximaler Nierentubuli von Ratten bestimmt worden war. Er war 14 mal geringer als der scheinbare K_m -Wert für den polyspezifischen H^+ -Kationen-Gegentransporter in der Bürstensaummembran proximaler Nierentubuli von Ratten.

Beispiel 2

Um weiterhin festzustellen, ob es sich bei dem OCT1-Transportprotein um das potentialabhängige polyspezifische Kationentransportsystem aus der basolateralen Membran oder um das potentialunabhängige polyspezifische H^+ -Kationen-Gegentransportsystem der Bürstensaummembran handelt, wurde untersucht, ob die von dem Transportprotein OCT1 bewirkte Aufnahme von dem Membranpotential bzw. von einem Protonengradienten über die Membran abhängig ist. Außerdem wurde die Hemmung der exprimierten ^{14}C -TEA-Aufnahme durch verschiedene Inhibitoren untersucht.

Die Figuren 1d und 1e zeigen, daß die durch das Transportprotein OCT1 vermittelte ^{14}C -TEA-Aufnahme vom Membranpotential abhängig ist, aber nicht wesentlich geändert wird, wenn ein nach innen oder außen gerichteter Protonengradient von einer pH-Einheit angelegt wird. Das OCT1-Transportprotein hat also die gleichen Grundcharakteristiken wie der über die basolaterale Membran der proximalen Nierentubuli gemessene Kationentransport.

Figur 1f und Tabelle 1 zeigen, daß die durch OCT1 bewirkte ^{14}C -TEA-Aufnahme durch organische Kationen mit verschiedener molekularer Struktur inhibiert wird. Diese Strukturen schließen mehrere häufig verwendete Pharmaka wie Chinin, Desipramin, Procainamid und O-Methyl-isoprenalin ein. Die geschätzten K_i -Werte liegen zwischen $0,13 \mu\text{M}$ für 1-Ethyl-2-[[1,4-dimethyl-2-phenyl-6-pyrimidinyliden]methyl]chinoliniumchlorid (Cyanin 863) und 1 mM für Tetrame-

thylammonium (TMA).

Tabelle 1

Inhibitor	K_i (μ M)
Cyanin 863	$0,13 \pm 0,02$
Decynium 22	$0,36 \pm 0,08$
Tetrapentylammonium	$0,43 \pm 0,09$
Chinin	$0,93 \pm 0,08$
Desipramin	$2,8 \pm 0,6$
Mepiperphenidol	$5,2 \pm 0,3$
Procainamid	13 ± 2
1-Methyl-4-phenylpyridinium	13 ± 2
Corticosteron	> 10
Reserpin	> 20
O-Methyl-isoprenalin	43 ± 5
Tetramethylammonium	1000 ± 100
N ¹ -Methylnicotinamid	1000 ± 200

Tabelle 1 zeigt die Empfindlichkeit der ¹⁴C-TEA-Aufnahme in *Xenopus laevis* Oozyten, denen die cRNA des Nierentransportproteins OCT1 injiziert wurde.

Bei der Durchführung der Inhibitionsexperimente wurden den *Xenopus laevis* Oozyten 5 ng OCT1-cRNA injiziert und die Auswirkungen der in Tabelle 1 aufgeführten Inhibitoren bei 5 bis 8 unterschiedlichen Inhibitor-Konzentrationen auf die Aufnahme von 95 μ M in die Oozyten gemessen. Die Werte wurden auch in Figur 1f dargestellt. Die Inhibierungskurven wurden durch nichtlineare Regressionsanalyse angepaßt und die K_i -Werte (\pm SD) wurden bestimmt.

Im Unterschied zu dem schon bekannten polyspezifischen Transportprotein, dem sogenannten Multidrug-Transporter, welches ausschließlich durch hydrophobe Substanzen inhibiert wird, wurde das erfindungsgemäße Transportprotein OCT1 auch durch hydrophile Verbindungen wie TMA und NMN gehemmt. Desipramin inhibierte den durch OCT1 bewirkten Transport mit einem 700-fach höheren K_i -Wert als den neuronalen Noradrenalin-Transport in Plasmamembranen von Nervenzellen. 5 μ M Reserpin beeinflußt den durch OCT1 bewirkten Transport nicht, während das neuronale Monoamin-Transportprotein in synaptischen Vesikeln durch subnanomolare Reserpin-Konzentrationen inhibiert wird.

Beispiel 3

Durch Vergleich der K_i -Werte von OCT1 mit früher erhaltenen funktionellen Daten von Membranvesikeln und von Messungen mit kultivierten Nierenepithelzellen konnte die Identität des OCT1-Transportproteins mit dem basolateralen kationischen Transportprotein bestätigt werden. Bei solch einem Vergleich müssen die Spezies-abhängigen Unterschiede bei dem Kationentransport und die methodischen Beschränkungen der unterschiedlichen Verfahren zur Messung der Inhibierung des Kationentransports berücksichtigt werden. In früheren Untersuchungen wurde der Kationentransport in Rattennieren durch Mikroperfusionsexperimente bestimmt, die mit kurzen Inkubationszeiten (4 Sekunden) durchgeführt werden müssen. Da mit dieser Methode keine Diffusions-unabhängige K_i -Bestimmung von Inhibitoren mit hoher Affinität möglich ist, haben wir uns auf den Vergleich niederaffiner Hemmstoffe beschränkt. Bei einem Vergleich der niederaffinen Inhibitoren TMA und NMN fanden wir, daß die K_i -Werte des OCT1-exprimierten Transportproteins (etwa 1 mM) den K_i -werten (TMA 1,4 mM, NMN 0,54 mM), die für die basolaterale TEA-Aufnahme in den proximalen Nierentubuli von Ratten gemessen wurden, entsprechen. Sie unterschieden sich deutlich von den K_i -Werten (TMA 70 mM, NMN 8,3 mM), die für die luminale TEA-Aufnahme bestimmt wurden.

Beispiel 4

Die basolaterale Lokalisierung von OCT1 wird zusätzlich durch den K_i -Wert (0,4 μ M) gestützt, der für die Inhibierung der von OCT1 bewirkten Aufnahme durch 1,1'-Diethyl-2,2'-cyaniniodid (Decynium 22) erhalten wurde. In LLC-PK1-Zellen wurde für den TEA-Transport über die luminale Membran ein K_i -Wert von 5,6 nM bestimmt, während der K_i -Wert für

den TEA-Transport über die basolaterale Membran mit $> 0,1 \mu\text{M}$ geschätzt wurde. Um das OCT1-Transportprotein weiter zu charakterisieren, wurde getestet, ob MPP, das eine etwa 10-fach höhere Affinität hat als TEA, ebenfalls durch OCT1 transportiert wird. Nach Injektion von 8 ng OCT1-cRNA in Oozyten wurde eine spezifische ^3H -MPP-Aufnahme exprimiert, die durch Chinin inhibierbar war. In einem Ansatz von Oozyten wurden ähnliche V_{max} -Werte für die exprimierte Aufnahme von ^{14}C -TEA ($148 \pm 4 \text{ pmol} \times \text{Oozyten}^{-1} \times \text{h}^{-1}$) und ^3H -MPP ($97 \pm 5 \text{ pmol} \times \text{Oozyten}^{-1} \times \text{h}^{-1}$) bestimmt. In Leberzellen ist die Existenz von polyspezifischen Kationentransportern beschrieben worden. Kürzlich wurde die MPP-Aufnahme in kultivierte Hepatozyten gemessen. Dabei zeigte sich, daß etwa 90 % der MPP-Aufnahme durch die gleichen Hemmstoffe gehemmt werden konnten wie der durch OCT1 exprimierte Kationentransport. Die an den Hepatozyten für die MPP-Aufnahme bestimmten K_i -Werte (O-Methylisoprenalin $78 \mu\text{M}$, MPP $13 \mu\text{M}$, Chinin $0,8 \mu\text{M}$, Decynium $22,0,23 \mu\text{M}$ und Cyanin $863,0,10 \mu\text{M}$) waren nahezu identisch mit den Werten, die für die TEA-Aufnahme durch das von *Xenopus* Oozyten exprimierte OCT1-Protein erhalten wurden. Diese Daten lassen vermuten, daß das OCT1-Transportprotein oder ein hochhomologes Transportprotein in der Plasmamembran von Hepatozyten vorhanden ist.

Beispiel 5

Die Nucleotidsequenz und die Aminosäuresequenz von OCT1 ist in Figur 2a₁ dargestellt. Vor dem offenen Leserahmen sind Stoppkodons zu finden und eine Initiationsstelle der Translation von Kozak-Typ (ACGCCATG).

Eine Analyse der Hydrophilie/Hydrophobie von OCT1 ließ 11 hydrophobe α -helikale Bereiche erkennen, die die Membran voraussichtlich durchqueren. Eine Darstellung der Hydrophobie/Hydrophilie-Indices findet sich in Figur 2b. Die voraussichtlich membranspannenden Bereiche sind 17 bis 27 Aminosäuren lang. Sie sind durch einen langen, zwei mittellange und sieben kurze hydrophile Bereiche miteinander verbunden. Da drei potentielle N-Glycosilierungsstellen an dem hydrophilen Bereich zwischen den beiden ersten die Membran durchquerenden Proteinbereichen vorausgesagt wurden, wurde die in Figur 2c dargestellt Orientierung von OCT1 vorgeschlagen. Der erste hydrophile Bereich enthält 14 negativ geladene Aminosäuren, die für die Kationenbindung an OCT1 wichtig sein können.

Beispiel 6

Verschiedene Rattengewebe und einige Zelllinien wurden bezüglich der Lokalisation von für Transportprotein OCT1 spezifischer mRNA mit Hilfe des sogenannten Northern Blots analysiert. Hierzu wurde die gesamte RNA durch die Guanidinium-Phenol-Chloroform-Methode isoliert und die mRNA wurde unter Verwendung der Oligo(dT)-Zellulose-Chromatographie gereinigt. Die mRNA wurde mit Hilfe von Formaldehyd-Agarosegel-Elektrophorese fraktioniert, auf eine Hybond-N-Membran (Amersham) übertragen und anschließend hybridisiert. Hierzu wurden von den Rattenzellen und aus der Zelllinie 293 $5 \mu\text{g}$ und aus den Zelllinien Caki-1 und LLC-PK1 $1,5 \mu\text{g}$ mRNA auf das Formaldehyd-Agarosegel aufgetragen. Die Hybridisierung erfolgte mit einem ^{32}P -markierten cDNA-Fragment der erfindungsgemäßen DNA-Sequenz von dem Plasmid pOCT1 (es wurden die Nucleotide 285 bis 1196 verwendet. Die Hybridisierung wurde für 18 Stunden bei 42°C in der Hybridisierungslösung durchgeführt (50 % Formamid, 5 x SSPE, 5 x Denhardt's Lösung, 0,5 % SDS und $20 \mu\text{g}$ Lachssperma DNA). Die Membran wurde in mehreren Schritten zu einer endgültigen Stringenz von 0,25 x SSPE, 0,1 % SDS bei 60°C gewaschen. Zur Darstellung der Zelllinie LLC-PK1 erfolgte eine Exponierung des Films für 24 Stunden und für die anderen Spuren erfolgte eine Exponierung des Films für sechs Stunden. Zur Ermittlung der Größe der RNA-Fragmente wurde ein RNA-Standard (0,14 bis 9,5 Kilobasen-Bereich von GIBCO/BRL) verwendet. Die Größen sind in der Figur 3 angegeben.

In Figur 3 ist die durch die Northern Blot Analyse erhaltene Autoradiographie dargestellt. Bei der Nierenrinde, dem Nierenmark, der Leber und dem Darm wurden deutliche Banden bei 1,9 Kilobasen und weitere Banden bei 3,4 und 4,8 Kilobasen beobachtet. In der Zelllinie LLC-PK1 konnte nur eine Hybridisierung in dem Bereich von 3,4 Kilobasen beobachtet werden. Keine Signale für OCT1 konnten dagegen in der Nieren-Papille, im Skelettmuskel, im Herzmuskel, im Gehirn, in der menschlichen embryonalen Nierenzelllinie 293 und in Caki-1-Zellen beobachtet werden. Da Herz- und Caki-1-Zellen das extraneuronale Noradrenalin-Transportprotein enthalten, welches wahrscheinlich mit dem H^+ -Kationen-Gegentransportprotein auf luminalen Nierenmembranen identisch ist, gehören die Kationen-Transportproteine in der basolateralen und luminalen Membran der proximalen Nierentubuli wahrscheinlich zu verschiedenen genetischen Familien. In situ-Hybridisierungen zeigten, daß das OCT1-Transportprotein in den proximalen Nierentubuli, in den Epithelzellen der Leber und in den Enterozyten des Dünndarms exprimiert werden.

Die obigen Beispiele zeigen, daß ein neues und einzigartiges Protein kloniert wurde, das eine bedeutende Rolle bei der Eliminierung von kationischen Pharmaka in Niere und Leber spielt. Vermutlich ist dieses Protein auch an der Reabsorption von kationischen Verbindungen im Darm beteiligt. Obwohl der Kationentransport und die Exkretion von Pharmaka seit mehr als 30 Jahren intensiv untersucht werden, konnten in der Vergangenheit nur geringe Fortschritte erzielt werden. Der Grund dafür ist, daß die Ausscheidung von Pharmaka in Leber und Nieren den Transport über die basolaterale und die luminalen Plasmamembran der epithelialen Zellen einschließt und daß diese Transportprozesse durch funktionell verschiedene Kationen-Transportproteine bewirkt werden. Darüber hinaus kann nicht ausgeschlossen werden, daß sowohl in der luminalen als auch in der basolateralen Nierenmembran verschiedene Kationen-Transport-

proteine mit ähnlicher Substratspezifität existieren. Durch die Klonierung des erfindungsgemäßen OCT1-Transportproteins wurde ein Typ des Kationen-Transportproteins identifiziert. Damit wurden viele Möglichkeiten zur weiteren Erforschung der Ausscheidung kationischer Pharmaka eröffnet.

5 Beispiel 7

Mit Hilfe der in der vorliegenden Anmeldung beschriebenen Techniken konnten zwei zu OCT1 homologe menschliche Gene kloniert und vollständig bzw. teilweise sequenziert werden. Das vollständig sequenzierte Gen (HOCT1) besteht aus 1885 Basen und kodiert für ein Protein mit 553 Aminosäuren. Es ist in Figur 2a₂ dargestellt. Zwischen den Aminosäuren von OCT1 und HOCT1 besteht 78 % Identität. Das andere menschliche Gen (HOCT2) besteht aus 1896 Basen und kodiert für ein Protein mit 555 Aminosäuren. Die Nucleotidsequenz und die abgeleitete Aminosäuresequenz von OCT2 ist in Figur 2a₃ dargestellt. Zwischen den Aminosäuren von OCT1 und HOCT2 besteht eine Identität von 68 %.

Erläuterung der Zeichnungen

Figur 1 zeigt die Expression von OCT1 in *Xenopus laevis* Oozyten. Die angegebenen ¹⁴C-TEA-Aufnahmeraten stellen die Mittelwerte von 10 bis 20 Messungen \pm Standardabweichung dar.

Figur 1a zeigt einen Vergleich der NMN-inhibierten ¹⁴C-TEA-Aufnahme, die nach Injektion von Wasser, 20 ng Rattennieren mRNA oder 10 ng cRNA von OCT1 beobachtet wurde. Die Konzentrationen an ¹⁴C-TEA und NMN in den Inkubationsmedien betrugen 200 μ M bzw. 10 mM.

Figur 1b zeigt die Aufnahmeraten von 200 μ M ¹⁴C-TEA nach Injektion von verschiedenen Mengen an cRNA von OCT1. Die Kurve wurde durch Anpassung der Hill-Gleichung an die erhaltenen Daten errechnet ($n = 1,9 \pm 0,2$).

Figur 1c zeigt die Substratabhängigkeit der ¹⁴C-TEA-Aufnahme, die nach Injektion von 3 ng OCT1-cRNA pro Oozyte exprimiert wurde. Die durchgehende Linie zeigt die Gesamtaufnahme, die eine sättigbare Komponente und eine lineare Komponente enthält, die in mit Wasser injizierten Kontrolloozyten bestimmt wurde. Die lineare Komponente wurde mittels linearer Regression angepaßt (gestrichelte Linie, $30 \text{ fmol} \times \text{h}^{-1} \times \text{Oozyte}^{-1} \times \mu\text{M}^{-1}$). Die sättigbare Komponente wurde durch die Michaelis Menten Gleichung angepaßt (K_m $95 \pm 10 \mu\text{M}$, V_{max} $81 \pm 5 \text{ pmol} \times \text{h}^{-1} \times \text{Oozyte}^{-1}$). Die ausgezogene Linie wurde durch Anpassung an eine Gleichung, welche beide Komponenten enthält, errechnet.

Figur 1d zeigt die Potentialabhängigkeit der ¹⁴C-TEA-Aufnahme in Oozyten, denen 3 ng OCT1-cRNA injiziert wurden. Die Aufnahme von 95 μ M ¹⁴C-TEA wurde in Gegenwart der angegebenen Konzentrationen von Na⁺, K⁺ und Ba²⁺ gemessen. Unter diesen Bedingungen lagen die Membranpotentiale zwischen -40 und -60 mV (100 mM Na⁺, 3 mM K⁺), 0 bis -10 mV (1 mM Na⁺, 102 mM K⁺) und zwischen -18 und -22 mV (100 mM Na⁺, 3 mM K⁺, 10 mM Ba²⁺).

Figur 1e zeigt die Aufnahme von 95 μ M ¹⁴C-TEA in Anwesenheit und Abwesenheit von Protonengradienten bei Oozyten, denen 3 ng OCT1-cRNA injiziert wurden. Um durch Protonengradienten verursachte Änderungen des Membranpotentials zu verhindern, welche die ¹⁴C-TEA-Aufnahme verändern würden, wurden die Messungen in Gegenwart von 102 mM K⁺ und 1 mM Na⁺ im Inkubationsmedium durchgeführt. Dadurch wurde das Membranpotential auf etwa 0 mV gebracht. pH-Messungen mit Mikroelektroden zeigten, daß sich während der 30-minütigen Aufnahmeperiode der pH-Wert um weniger als 0,1 Einheiten änderte.

Figur 1f zeigt die Inhibierung der durch OCT1 bewirkten ¹⁴C-TEA-Aufnahme durch Decynium 22 (o), Chinin (Δ), Desipramin (\square), Procainamid (\bullet), O-Methylisoprenalin (\diamond) und Tetramethylammonium (\star). Den Oozyten wurden 5 ng OCT1-cRNA injiziert und die Messungen wurden mit 95 μ M ¹⁴C-TEA durchgeführt.

Figur 2a₁ zeigt die Nucleotidsequenz und die davon abgeleitete Aminosäuresequenz von OCT1. Diejenigen Bereiche, die vermutlich Transmembranbereiche sind, wurden unterstrichen und potentielle N-Glycosilierungsstellen vom Typ NXT/S werden durch Sternchen angegeben.

Figur 2a₂ zeigt die Nucleotid- und Aminosäuresequenz eines homologen Human-Genes aus der Niere (HOCT1). Das dargestellte Genstück umfaßt 1885 Basen und kodiert für 553 Aminosäuren.

Figur 2a₃ zeigt eine Nucleotid- und Aminosäuresequenz eines zweiten homologen Human-Genes aus der Niere (HOCT2). Das dargestellte Genstück umfaßt 1856 Basen und kodiert für 555 Aminosäuren.

Figur 2b zeigt eine Kyte-Doolittle Hydrophobie/Hydrophilie-Analyse von OCT1 unter Verwendung eines Fensters von 9 Aminosäuren. Die Bereiche, die vermutlich Transmembranbereiche sind, wurden mit 1 bis 11 numeriert.

Figur 2c stellt eine schematische Darstellung von OCT1 dar. Die Aminosäurereste Arg, Lys und His werden durch Pluszeichen angegeben und die Aminosäurereste Glu und Asp durch Minuszeichen gekennzeichnet. Potentielle Glycosilierungsstellen in der ersten hydrophilen Schleife sind kenntlich gemacht.

Figur 3 zeigt die Lokalisierung von für OCT1 spezifischer mRNA in verschiedenen Rattengeweben und in einigen Zelllinien.

SEQUENZPROTOKOLL

5

(1) ALLGEMEINE INFORMATION:

(i) ANMELDER:

10

(A) NAME: Hoechst Aktiengesellschaft
 (B) STRASSE: -
 (C) ORT: Frankfurt
 (D) BUNDESLAND: -
 (E) LAND: Deutschland
 (F) POSTLEITZAHL: 65926
 (G) TELEPHON: 069-305-3005
 (H) TELEFAX: -
 (I) TELEX: -

15

(ii) ANMELDETITEL: Transportprotein, das den Transport von
 kationischen Xenobiotika und/oder Pharmaka bewirkt, dafuer
 kodierende DNA-Sequenzen und deren Verwendung

(iii) ANZAHL DER SEQUENZEN: 6

20

(iv) COMPUTER-LESBARE FORM:

(A) DATENTRÄGER: Floppy disk
 (B) COMPUTER: IBM PC compatible
 (C) BETRIEBSSYSTEM: PC-DOS/MS-DOS
 (D) SOFTWARE: PatentIn Release #1.0, Version #1.25 (EPA)

25

(2) INFORMATION ZU SEQ-ID NO: 1:

(i) SEQUENZ CHARAKTERISTIKA:

30

(A) LÄNGE: 556 Aminosäuren
 (B) ART: Aminosäure
 (C) STRANGFORM: Einzel
 (D) TOPOLOGIE: linear

(ii) ART DES MOLEKÜLS: Peptid

(ix) MERKMALE:

35

(A) NAME/SCHLÜSSEL: Peptide
 (B) LÄGE: 1..556

(xi) SEQUENZBESCHREIBUNG: SEQ ID NO: 1:

40

Met Pro Thr Val Asp Asp Val Leu Glu Gln Val Gly Glu Phe Gly Trp
 1 5 10 15

Phe Gln Lys Gln Ala Phe Leu Leu Leu Cys Leu Ile Ser Ala Ser Leu
 20 25 30

Ala Pro Ile Tyr Val Gly Ile Val Phe Leu Gly Phe Thr Pro Gly His
 35 40 45

45

Tyr Cys Gln Asn Pro Gly Val Ala Glu Leu Ser Gln Arg Cys Gly Trp
 50 55 60

Ser Gln Ala Glu Glu Leu Asn Tyr Thr Val Pro Gly Leu Gly Pro Ser
 65 70 75 80

50

Asp Glu Ala Ser Phe Leu Ser Gln Cys Met Arg Tyr Glu Val Asp Trp
 85 90 95

Asn Gln Ser Thr Leu Asp Cys Val Asp Pro Leu Ser Ser Leu Val Ala
 100 105 110

55

EP 0 699 753 A2

5 Asn Arg Ser Gln Leu Pro Leu Gly Pro Cys Glu His Gly Trp Val Tyr
 115 120 125
 Asp Thr Pro Gly Ser Ser Ile Val Thr Glu Phe Asn Leu Val Cys Gly
 130 135 140
 Asp Ala Trp Lys Val Asp Leu Phe Gln Ser Cys Val Asn Leu Gly Phe
 145 150 155 160
 10 Phe Leu Gly Ser Leu Val Val Gly Tyr Ile Ala Asp Arg Phe Gly Arg
 165 170 175
 Lys Leu Cys Leu Leu Val Thr Thr Leu Val Thr Ser Val Ser Gly Val
 180 185 190
 15 Leu Thr Ala Val Ala Pro Asp Tyr Thr Ser Met Leu Leu Phe Arg Leu
 195 200 205
 Leu Gln Gly Met Val Ser Lys Gly Ser Trp Val Ser Gly Tyr Thr Leu
 210 215 220
 20 Ile Thr Glu Phe Val Gly Ser Gly Tyr Arg Arg Thr Thr Ala Ile Leu
 225 230 235 240
 Tyr Gln Met Ala Phe Thr Val Gly Leu Val Gly Leu Ala Gly Val Ala
 245 250 255
 Tyr Ala Ile Pro Asp Trp Arg Trp Leu Gln Leu Ala Val Ser Leu Pro
 260 265 270
 25 Thr Phe Leu Phe Leu Leu Tyr Tyr Trp Phe Val Pro Glu Ser Pro Arg
 275 280 285
 Trp Leu Leu Ser Gln Lys Arg Thr Thr Arg Ala Val Arg Ile Met Glu
 290 295 300
 30 Gln Ile Ala Gln Lys Asn Gly Lys Val Pro Pro Ala Asp Leu Lys Met
 305 310 315 320
 Leu Cys Leu Glu Glu Asp Ala Ser Glu Lys Arg Ser Pro Ser Phe Ala
 325 330 335
 35 Asp Leu Phe Arg Thr Pro Asn Leu Arg Lys His Thr Val Ile Leu Met
 340 345 350
 Tyr Leu Trp Phe Ser Cys Ala Val Leu Tyr Gln Gly Leu Ile Met His
 355 360 365
 40 Val Gly Ala Thr Gly Ala Asn Leu Tyr Leu Asp Phe Phe Tyr Ser Ser
 370 375 380
 Leu Val Glu Phe Pro Ala Ala Phe Ile Ile Leu Val Thr Ile Asp Arg
 385 390 395 400
 45 Ile Gly Arg Ile Tyr Pro Ile Ala Ala Ser Asn Leu Val Thr Gly Ala
 405 410 415
 Ala Cys Leu Leu Met Ile Phe Ile Pro His Glu Leu His Trp Leu Asn
 420 425 430
 Val Thr Leu Ala Cys Leu Gly Arg Met Gly Ala Thr Ile Val Leu Glu
 435 440 445
 50 Met Val Cys Leu Val Asn Ala Glu Leu Tyr Pro Thr Phe Ile Arg Asn
 450 455 460

55

Leu Gly Met Met Val Cys Ser Ala Leu Cys Asp Leu Gly Gly Ile Phe
 465 470 475 480
 5 Thr Pro Phe Met Val Phe Arg Leu Met Glu Val Trp Gln Ala Leu Pro
 485 490 495
 Leu Ile Leu Phe Gly Val Leu Gly Leu Thr Ala Gly Ala Met Thr Leu
 500 505 510
 10 Leu Leu Pro Glu Thr Lys Gly Val Ala Leu Pro Glu Thr Ile Glu Glu
 515 520 525
 Ala Glu Asn Leu Gly Arg Arg Lys Ser Lys Ala Lys Glu Asn Thr Ile
 530 535 540
 15 Tyr Leu Gln Val Gln Thr Gly Lys Ser Ser Ser Thr
 545 550 555

(2) INFORMATION ZU SEQ ID NO: 2:

(i) SEQUENZ CHARAKTERISTIKA:

- (A) LÄNGE: 553 Aminosäuren
 (B) ART: Aminosäure
 (C) STRANGFORM: Einzel
 (D) TOPOLOGIE: linear

(ii) ART DES MOLEKÜLS: Peptid

(ix) MERKMALE:

- (A) NAME/SCHLÜSSEL: Peptide
 (B) LAGE: 1..553

(xi) SEQUENZBESCHREIBUNG: SEQ ID NO: 2:

Met Pro Thr Val Asp Asp Ile Leu Glu Gln Val Gly Glu Ser Gly Trp
 1 5 10 15
 Phe Gln Lys Gln Ala Phe Leu Ile Leu Cys Leu Leu Ser Ala Ala Phe
 20 25 30
 35 Ala Pro Ile Cys Val Gly Ile Val Phe Leu Gly Phe Thr Pro Asp His
 35 40 45
 His Cys Gln Ser Pro Gly Val Ala Glu Leu Ser Gln Arg Cys Gly Trp
 50 55 60
 40 Ser Pro Ala Glu Glu Leu Asn Tyr Thr Val Pro Gly Leu Gly Pro Ala
 65 70 75 80
 Gly Glu Ala Phe Leu Gly Gln Cys Arg Arg Tyr Glu Val Asp Trp Asn
 85 90 95
 45 Gln Ser Ala Leu Ser Cys Val Asp Pro Leu Ala Ser Leu Ala Thr Asn
 100 105 110
 Arg Ser His Leu Pro Leu Gly Pro Cys Gln Asp Gly Trp Val Tyr Asp
 115 120 125
 50 Thr Pro Gly Ser Ser Ile Val Thr Glu Phe Asn Leu Val Cys Ala Asp
 130 135 140
 Ser Trp Lys Leu Asp Leu Phe Gln Ser Cys Leu Asn Ala Gly Phe Phe
 145 150 155 160

EP 0 699 753 A2

Phe Gly Ser Leu Gly Val Gly Tyr Phe Ala Asp Arg Phe Gly Arg Lys
 165 170 175
 5 Leu Cys Leu Leu Gly Thr Val Leu Val Asn Ala Val Ser Gly Val Leu
 180 185 190
 Met Ala Phe Ser Pro Asn Tyr Met Ser Met Leu Leu Phe Arg Leu Leu
 195 200 205
 10 Gln Gly Leu Val Ser Lys Gly Asn Trp Met Ala Gly Tyr Thr Leu Ile
 210 215 220
 Thr Glu Phe Val Gly Ser Gly Ser Arg Arg Thr Val Ala Ile Met Tyr
 225 230 235 240
 15 Gln Met Ala Phe Thr Val Gly Leu Val Ala Leu Thr Gly Leu Ala Tyr
 245 250 255
 Ala Leu Pro His Trp Arg Trp Leu Gln Leu Ala Val Ser Leu Pro Thr
 260 265 270
 20 Phe Leu Phe Leu Leu Tyr Tyr Trp Cys Val Pro Glu Ser Pro Arg Trp
 275 280 285
 Leu Leu Ser Gln Lys Arg Asn Thr Glu Ala Ile Lys Ile Met Asp His
 290 295 300
 25 Ile Ala Gln Lys Asn Gly Lys Leu Pro Pro Ala Asp Leu Lys Met Leu
 305 310 315 320
 Ser Leu Glu Glu Asp Val Thr Glu Lys Leu Ser Pro Ser Phe Ala Asp
 325 330 335
 Leu Phe Arg Thr Pro Arg Leu Arg Lys Arg Thr Phe Ile Leu Met Tyr
 340 345 350
 30 Leu Trp Phe Thr Asp Ser Val Leu Tyr Gln Gly Leu Ile Leu His Met
 355 360 365
 Gly Ala Thr Ser Gly Asn Leu Tyr Leu Asp Phe Leu Tyr Ser Ala Leu
 370 375 380
 35 Val Glu Ile Pro Gly Ala Phe Ile Ala Leu Ile Thr Ile Asp Arg Val
 385 390 395 400
 Gly Arg Ile Tyr Pro Met Ala Val Ser Asn Leu Leu Ala Gly Ala Ala
 405 410 415
 40 Cys Leu Val Ile Phe Ile Ser Pro Asp Leu His Trp Leu Asn Ile Ile
 420 425 430
 Ile Met Cys Val Gly Arg Met Gly Ile Thr Ile Ala Ile Gln Met Ile
 435 440 445
 45 Cys Leu Val Asn Ala Glu Leu Tyr Pro Thr Phe Val Arg Asn Leu Arg
 450 455 460
 Val Met Val Cys Ser Ser Leu Cys Asp Ile Gly Gly Ile Ile Thr Pro
 465 470 475 480
 Phe Ile Val Phe Arg Leu Arg Glu Val Trp Gln Ala Leu Pro Leu Ile
 485 490 495
 50 Leu Phe Ala Val Leu Gly Leu Leu Ala Ala Gly Val Thr Leu Leu Leu
 500 505 510

55

Pro Glu Thr Lys Gly Asp Ala Leu Pro Glu Thr Met Lys Asp Ala Glu
515 520 525

Asn Leu Gly Arg Lys Ala Lys Pro Lys Glu Asn Thr Ile Tyr Leu Lys
530 535 540

Val Gln Thr Ser Glu Pro Ser Gly Thr
545 550

(2) INFORMATION ZU SEQ ID NO: 3:

(i) SEQUENZ CHARAKTERISTIKA:

- (A) LÄNGE: 555 Aminosäuren
- (B) ART: Aminosäure
- (C) STRANGFORM: Einzel
- (D) TOPOLOGIE: linear

(ii) ART DES MOLEKÜLS: Peptid

(ix) MERKMALE:

- (A) NAME/SCHLÜSSEL: Peptide
- (B) LAGE: 1..555

(xi) SEQUENZBESCHREIBUNG: SEQ ID NO: 3:

Met Pro Thr Thr Val Asp Asp Val Leu Glu His Gly Gly Glu Phe His
1 5 10 15

Phe Phe Gln Lys Gln Met Phe Phe Leu Leu Ala Leu Leu Ser Ala Thr
20 25 30

Phe Ala Pro Ile Tyr Val Gly Ile Val Phe Leu Gly Phe Thr Pro Asp
35 40 45

His Arg Cys Arg Ser Pro Gly Val Ala Glu Leu Ser Leu Arg Cys Gly
50 55 60

Trp Ser Pro Ala Glu Glu Leu Asn Tyr Thr Val Pro Gly Pro Gly Pro
65 70 75 80

Ala Gly Glu Ala Ser Pro Arg Gln Cys Arg Arg Tyr Glu Val Asp Trp
85 90 95

Asn Gln Ser Thr Phe Asp Cys Val Asp Pro Leu Ala Ser Leu Asp Thr
100 105 110

Asn Arg Ser Arg Leu Pro Leu Gly Pro Cys Arg Asp Gly Trp Val Tyr
115 120 125

Glu Thr Pro Gly Ser Ser Ile Val Thr Glu Phe Asn Leu Val Cys Ala
130 135 140

Asn Ser Trp Met Leu Asp Leu Phe Gln Ser Ser Val Asn Val Gly Phe
145 150 155 160

Phe Ile Gly Ser Met Ser Ile Gly Tyr Ile Ala Asp Arg Phe Gly Arg
165 170 175

Lys Leu Cys Leu Leu Thr Thr Val Leu Ile Asn Ala Ala Ala Gly Val
180 185 190

Leu Met Ala Ile Ser Pro Thr Tyr Thr Trp Met Leu Ile Phe Arg Leu
195 200 205

EP 0 699 753 A2

Ile Gln Gly Leu Val Ser Lys Ala Gly Trp Leu Ile Gly Tyr Ile Leu
 210 215 220
 5 Ile Thr Glu Phe Val Gly Gly Arg Tyr Arg Arg Thr Val Gly Ile Phe
 225 230 235 240
 Tyr Gln Val Ala Tyr Thr Val Gly Leu Leu Val Leu Ala Gly Val Ala
 245 250 255
 10 Tyr Ala Leu Pro His Trp Arg Trp Leu Gln Phe Thr Val Ala Leu Pro
 260 265 270
 Asn Phe Phe Phe Leu Leu Tyr Tyr Trp Cys Ile Pro Glu Ser Pro Arg
 275 280 285
 15 Trp Leu Ile Ser Gln Asn Lys Asn Ala Glu Ala Met Arg Ile Ile Lys
 290 295 300
 His Ile Ala Lys Lys Asn Gly Lys Ser Leu Pro Ala Ser Leu Gln Arg
 305 310 315 320
 20 Leu Arg Leu Glu Glu Glu Thr Gly Lys Lys Leu Asn Pro Ser Phe Leu
 325 330 335
 Asp Leu Val Arg Thr Pro Gln Ile Arg Lys His Thr Met Ile Leu Met
 340 345 350
 Tyr Asn Trp Phe Thr Ser Ser Val Leu Tyr Gln Gly Leu Ile Met His
 355 360 365
 25 Met Gly Leu Ala Gly Asp Asn Ile Tyr Leu Asp Phe Phe Tyr Ser Ala
 370 375 380
 Leu Val Glu Phe Pro Ala Ala Phe Met Ile Ile Leu Ile Ile Asp Arg
 385 390 395 400
 30 Ile Gly Arg Arg Tyr Pro Trp Ala Ala Ser Asn Met Val Ala Gly Ala
 405 410 415
 Ala Cys Leu Ala Ser Val Phe Ile Pro Gly Asp Leu Gln Trp Leu Lys
 420 425 430
 35 Ile Ile Ile Ser Cys Leu Gly Arg Met Gly Ile Thr Met Ala Tyr Glu
 435 440 445
 Ile Val Cys Leu Val Asn Ala Glu Leu Tyr Pro Thr Phe Ile Arg Asn
 450 455 460
 40 Leu Gly Val His Ile Cys Ser Ser Met Cys Asp Ile Gly Gly Ile Ile
 465 470 475 480
 Thr Pro Phe Leu Val Tyr Arg Leu Thr Asn Ile Trp Leu Glu Leu Pro
 485 490 495
 45 Leu Met Val Phe Gly Val Leu Gly Leu Val Ala Gly Gly Leu Ala Leu
 500 505 510
 Leu Leu Pro Glu Thr Lys Gly Lys Ala Leu Pro Glu Thr Ile Glu Glu
 515 520 525
 50 Ala Glu Asn Met Gln Arg Pro Arg Lys Asn Lys Glu Lys Met Ile Tyr
 530 535 540
 Leu Gln Val Gln Lys Leu Asp Ile Pro Leu Asn
 545 550 555

55

(2) INFORMATION ZU SEQ ID NO: 4:

(i) SEQUENZ CHARAKTERISTIKA:

- (A) LÄNGE: 1882 Basenpaare
 (B) ART: Nukleinsäure
 (C) STRANGFORM: Einzel
 (D) TOPOLOGIE: linear

(ii) ART DES MOLEKÜLS: DNS (genomisch)

(ix) MERKMALE:

- (A) NAME/SCHLÜSSEL: exon
 (B) LÄNGE: 1..1882

(xi) SEQUENZBESCHREIBUNG: SEQ ID NO: 4:

GCAGGCCTGG	CTAAACTGGT	GAGGGCCCTA	CCCAGCCATG	CCCACCGTGG	ATGATGTCCT	60
GGAGCAAGTT	GGAGAGTTTG	GCTGGTTCCA	GAAACAAGCC	TTCCTGTTGC	TATGCCTGAT	120
CTCAGCTTCT	TTAGCTCCCA	TCTATGTGGG	CATCGTCTTC	CTGGGCTTCA	CCCCTGGACA	180
TTATTGCCAG	AATCCTGGGG	TGGCTGAGCT	GAGCCAGCGG	TGTGGCTGGA	GCCAGGCAGA	240
GGAGCTGAAC	TACACTGTGC	CGGGCCTGGG	ACCTTCGGAC	GAGGCCTCCT	TCCTCAGCCA	300
GTGCATGAGG	TATGAGGTGG	ACTGGAACCA	GAGCACCCCT	GACTGTGTGG	ACCCACTGTC	360
CAGCCTGGTT	GCCAACAGGA	GTCAGTTGCC	ATTGGGCCCC	TGCGAGCATG	GCTGGGTATA	420
CGACACTCCC	GGCTCCTCCA	TCGTCACTGA	GTTTAACCTG	GTGTGTGGAG	ACGCCTGGAA	480
AGTGGACCTT	TTTCAGTCCT	GTGTGAACTT	GGGCTTCTTC	CTGGGCTCCC	TGGTTGTGGG	540
TTACATTGCA	GACAGGTTTG	GGCGTAAGCT	CTGTCTCTTG	GTGACCACGC	TGGTCACATC	600
TGTGTCCGGT	GTGCTAACAG	CGGTGGCCCC	AGACTATACA	TCCATGTTGC	TCTTTCCGCT	660
GCTGCAGGGC	ATGGTCAGCA	AGGGCACCTG	GGTGTCCGGC	TATACCTTGA	TCACAGAGTT	720
TGTCGGCTCT	GGCTACAGGA	GAACGACGGC	CATTTTGTAC	CAGATGGCCT	TCACAGTGGG	780
GCTAGTGGGG	CTTGCCGGGG	TGGCCTATGC	CATTCCAGAC	TGGCGCTGGC	TCCAGCTAGC	840
TGTGTCCCTG	CCTACCTTCC	TCTTCTGCT	GTATTACTGG	TTTGTCCCAG	AATCCCCCGG	900
GTGGCTGTTG	TCCCAGAAGA	GAACCACGGC	AGCTGTCAGG	ATAATGGAGC	AAATTGCACA	960
GAAGAACGGG	AAGGTGCCTC	CTGCTGACCT	GAAGATGCTC	TGCCTTGAGG	AGGATGCCTC	1020
AGAAAAGCGA	AGTCCTTCGT	TTGCCGACCT	GTTCCGCACT	CCCAACCTGA	GGAAGCACAC	1080
CGTCATCCTG	ATGTATCTAT	GGTCTCTTG	TGCTGTGCTG	TACCAGGGTC	TCATCATGCA	1140
CGTGGGAGCC	ACAGGGGCCA	ACCTCTACCT	GGACTTCTTT	TATTCTTCTC	TGGTGGAATT	1200
CCCCGCGGCC	TTCATCATCC	TGGTCACCAT	TGACCGCATT	GGCCGCATCT	ACCCAATAGC	1260
GGCCTCGAAT	CTGGTGACGG	GGGCAGCCTG	CCTCCTCATG	ATCTTTATCC	CGCATGAGCT	1320
GCACTGGTTG	AACGTTACCC	TCGCCTGTCT	TGGCCGTATG	GGGGCCACCA	TTGTGCTGCA	1380
GATGGTCTGC	CTGGTGAACG	CTGAGCTGTA	CCCTACATTC	ATCAGGAATC	TTGGGATGAT	1440
GGATTGCTCT	GCCCTGTGTG	ACCTGGGTGG	GATCTTCACC	CCCTTCATGG	TGTTCAGGCT	1500

GATGGAAGTT TGGCAAGCCC TGCCCCCTCAT TTTGTTTGGG GTTTGGGGCC TGA CTGCTGG 1560
 5 GGCCATGACT CTTCTTCTCC CAGAGACCAA GGGTGTGGCT TTGCCTGAGA CTATTGAAGA 1620
 AGCAGAGAAC CTGGGGAGGA GGAAATCAAA GGCCAAAGAA AACACGATTT ACCTTCAGGT 1680
 CCAAACAGGC AAGTCCTCAA GTACCTGACA GGGATGCTGT GCCAGGAGCT GAGTGGCAGA 1740
 10 GAGAAAGGAG GACTTGCCAC TTGGAGGATT CCCAGAAGCC TTGCCTTTC CAGACTCTTG 1800
 TATATATGCA CCAGGTTCCA AATGAAC TAC CAACCTTAAA GACTTTTCTG AAAGCCCAA 1860
 AAAAAAAAAA AAAAAAAAAA AA 1882

(2) INFORMATION ZU SEQ ID NO: 5:

- (i) SEQUENZ CHARAKTERISTIKA:
 (A) LÄNGE: 1885 Basenpaare
 (B) ART: Nukleinsäure
 (C) STRANGFORM: Einzel
 (D) TOPOLOGIE: linear

- (ii) ART DES MOLEKÜLS: DNS (genomisch)

- (ix) MERKMALE:
 (A) NAME/SCHLÜSSEL: exon
 (B) LAGE: 1..1885

(xi) SEQUENZBESCHREIBUNG: SEQ ID NO: 5:

GAGGGAGACA TTGCACCTGG CCACTGCAGC CCAGAGCAGG TCTGGCCACG GCCATGAGCA 60
 TGCTGAGCCA TCATGCCCCAC CGTGGATGAC ATTCTGGAGC AGGTTGGGGA GTCTGGCTGG 120
 30 TTCCAGAAGC AAGCCTTCCT CATCTTATGC CTGCTGTCGG CTGCCTTTGC GCCCATCTGT 180
 GTGGGCATCG TCTTCCTGGG TTTCACACCT GACCACCACT GCCAGAGCCC TGGGGTGGCT 240
 GAGCTGAGCC AGCGCTGTGG CTGGAGCCCT GCGGAGGAGC TGAAC TATAC AGTGCCAGGC 300
 35 CTGGGGCCCG CGGGCGAGGC CTTCTTTGGC CAGTGCAGGC GCTATGAAGT GGA CTGGAAC 360
 CAGAGCGCCC TCAGCTGTGT AGACCCCTG GCTAGCCTGG CCACCAACAG GAGCCACCTG 420
 CCGCTGGGTC CTTGCCAGGA TGGCTGGGTG TATGACACGC CCGGCTCTTC CATCGTCACT 480
 40 GAGTTCAACC TGGTGTGTGC TGA CTCTGG AAGCTGGACC TCTTTCAGTC CTGTTTGAAT 540
 GCGGGCTTCT TCTTTGGCTC TCTCGGTGTT GGCTACTTTG CAGACAGGTT TGGCCGTAAG 600
 CTGTGTCTCC TGGGA ACTGT GCTGGTCAAC GCGGTGTCCG GCGTGCTCAT GGCCTTCTCG 660
 45 CCCAACTACA TGTCCATGCT GCTCTTCCGC CTGCTGCAGG GCCTGGTCAG CAAGGGCAAC 720
 TGGATGGCTG GCTACACCCT AATCACAGAA TTTGTTGGCT CGGGCTCCAG AAGAACGGTG 780
 GCGATCATGT ACCAGATGGC CTTACGGTG GGGCTGGTGG CGCTTACCGG GCTGGCCTAC 840
 GCCCTGCCTC ACTGGCGCTG GCTGCAGCTG GCAGTCTCCC TGCCACCTT CCTCTTCCTG 900
 50 CTCTACTACT GGTGTGTGCC GGAGTCCCT CGGTGGCTGT TATCAGAAA AAGAAACT 960
 GAAGCAATAA AGATAATGGA CCACATCGCT CAAAAGAATG GGAAGTTGCC TCCTGCTGAT 1020
 TTAAAGATGC TTTCCCTCGA AGAGGATGTC ACCGAAAAGC TGAGCCCTTC ATTTGCAGAC 1080

5 CTGTTCCGCA CGCCGCGCCT GAGGAAGCGC ACCTTCATCC TGATGTACCT GTGGTTCACG 1140
 GACTCTGTGC TCTATCAGGG GCTCATCCTG CACATGGGCG CCACCAGCGG GAACCTCTAC 1200
 CTGGATTTCC TTTACTCCGC TCTGGTCGAA ATCCCGGGGG CCTTCATAGC CCTCATCACC 1260
 ATTGACCGCG TGGGCCGCAT CTACCCCATG GCCGTGTCAA ATTTGTTGGC GGGGGCAGCC 1320
 10 TGCCCTCGTCA TTTTATCTC ACCTGACCTG CACTGGTTAA ACATCATAAT CATGTGTGTT 1380
 GGCCGAATGG GAATCACCAT TGCAATACAA ATGATCTGCC TGGTGAATGC TGAGCTGTAC 1440
 CCCACATTCG TCAGGAACCT CAGAGTGATG GTGTGTTTCCT CCCTGTGTGA CATAGGTGGG 1500
 ATAATCACCC CCTTCATAGT CTTCAGGCTG AGGGAGGTCT GGCAAGCCTT GCCCCTCATT 1560
 15 TTGTTTGGCG TGTGGGCCT GCTTGCCGCG GGAGTGACGC TACTTCTTCC AGAGACCAAG 1620
 GGGGACGCTT TGCCAGAGAC CATGAAGGAC CCCGAGAACC TTGGGAGAAA AGCAAAGCCC 1680
 AAAGAAAACA CGATTTACCT TAAGTCCAA ACCTCAGAAC CCTCGGGCAC CTGAGAGAGA 1740
 20 GTTTTGGCG CGATGTCGTG TTGGAGGGAT GAAGATGGAG TTATCCTCTG CAGAAATTCC 1800
 TAGACGCCTT CACTTCTCTG TATTCTTCCT CATACTTGCC TACCCCCAAA TTAATATCAG 1860
 TCCTAAAGAA AAAAAAAAAA AAAAA 1885

25 (2) INFORMATION ZU SEQ ID NO: 6:

- (i) SEQUENZ CHARAKTERISTIKA:
 (A) LÄNGE: 1896 Basenpaare
 (B) ART: Nukleinsäure
 (C) STRANGFORM: Einzel
 (D) TOPOLOGIE: linear
 30 (ii) ART DES MOLEKÜLS: DNS (genomisch)
 (ix) MERKMALE:
 (A) NAME/SCHLÜSSEL: exon
 (B) LAGE: 1..1896
 35

(xi) SEQUENZBESCHREIBUNG: SEQ ID NO: 6:
 GGCCCTGCCC TGAAGGCTGG TCACTTGCAG AGGTAAACTC CCCTCTTTGA CTTCTGGCCA 60
 40 GGGTTTGTGC TGAGCTGGCT GCAGCCGCTC TCAGCCTCGC TCCGGGCACG TCGGGCAGCC 120
 TCGGGCCCTC CTGCCTGCAG GATCATGCCC ACCACCGTGG ACGATGTCCT GGAGCATGGA 180
 GGGGAGTTTC ACTTTTCCA GAAGCAAATG TTTTCTCTT TGGCTCTGCT CTCGGCTACC 240
 45 TTCGCGCCCA TCTACGTGGG CATCGTCTTC CTGGGCTTCA CCCCTGACCA CCGCTGCCGG 300
 AGCCCCGGAG TGGCCGAGCT GAGTCTGCCG TCGGCTGGA GTCCTGCAGA GGAAGTGAAC 360
 TACACGGTGC CGGGCCCAGG ACCTGCGGGC GAAGCCTCCC CAAGACAGTG TAGGCGCTAC 420
 GAGGTGGACT GGAACCAGAG CACCTTTGAC TCGGTGGACC CCCTGGCCAG CCTGGACACC 480
 50 AACAGGAGCC GCCTGCCACT GGGCCCCTGC CGGGACGGCT GGGTGTACGA GACGCCTGGC 540
 TCGTCCATCG TCACCGAGTT TAACCTGGTA TGTGCCAACT CCTGGATGTT GGACCTATTC 600
 CAGTCATCAG TGAATGTAGG ATTCTTTATT GGCTCTATGA GTATCGGCTA CATAGCAGAC 660

55

	AGGTTTGGCC GTAAGCTCTG CCTCCTAACT ACAGTCCTCA TAAATGCTGC AGCTGGAGTT	720
5	CTCATGGCCA TTTCCCCAAC CTATACGTGG ATGTTAATTT TTCGCTTAAT CCAAGGACTG	780
	GTCAGCAAAG CAGGCTGGTT AATAGGCTAC ATCCTGATTA CAGAATTTGT TGGGGGGAGA	840
	TATCGGAGAA CAGTGGGGAT TTTTACCAA GTTGCCTATA CAGTTGGGCT CCTGGTGCTA	900
10	GCTGGGGTGG CTTACGCACT TCCTCACTGG AGGTGGTTGC AGTTCACAGT TGCTCTGCCC	960
	AACTTCTTCT TCTTGCTCTA TTAAGGTTGC ATACCTGAGT CTCCCAGGTG GCTGATCTCC	1020
	CAGAATAAGA ATGCTGAAGC CATGAGAATC ATTAAGCACA TCGCAAAGAA AAATGGAAAA	1080
	TCTCTACCCG CCTCCCTTCA GCGCCTGAGA CTTGAAGAGG AACTGGCAA GAAATTGAAC	1140
15	CCTTCATTTT TTAAGTGGT CAGAACTCCT CAGATAAGGA AACATACTAT GATATTGATG	1200
	TACAACTGGT TCACGAGCTC TGTGCTCTAC CAGGGCCTCA TCATGCACAT GGGCCTTGCA	1260
	GGTGACAATA TCTACCTGGA TTTCTTCTAC TCTGCCCTGG TTGAATTCCC AGCTGCCTTC	1320
20	ATGATCATCC TCATTATCGA CCGCATCGGA CGCCGTTACC CTGGGCTGC ATCAAATATG	1380
	GTGTCAGGGG CAGCCTGTCT GGCCTCAGTT TTTATACCTG GTGATCTACA ATGGCTAAAA	1440
	ATTATTATCT CATGCTTGGG AAGAATGGG ATCACAATGG CCTATGAGAT AGTCTGCCTG	1500
25	GTCAATGCTG AGCTGTACCC CACATTCAAT AGGAATCTTG GCGTCCACAT CTGTTCTCTA	1560
	ATGTGTGACA TTGGTGGCAT CATCACGCCA TTCCTGGTCT ACCGGCTCAC TAACATCTGG	1620
	CTTGAGCTCC CGCTGATGGT TTTGGGCGTA CTTGGCTTGG TTGCTGGAGG TCTGGTGCTG	1680
	TTGCTTCCAG AACTAAAGG GAAAGCTTG CCTGAGACCA TCGAGGAAGC CGAAAATATG	1740
30	CAAAGACCAA GAAAAAATAA AGAAAAGATG ATTTACCTCC AAGTTCAGAA ACTAGACATT	1800
	CCATTGAACT AAGAAGAGAG ACCGTTGCTG CTGTCATGAC CTAGCTTTAT GGCAGCAAGA	1860
35	CCAAAAGTAG AAATCCCTGC ACTCATCACA AAGCCC	1896

Patentansprüche

- Transportprotein, das für den Transport von kationischen Xenobiotika und/oder Pharmaka aus dem Blut in die Leber- oder Nierenepithelzellen oder für den Transport von kationischen Xenobiotika und/oder Pharmaka aus dem Darm zuständig ist, dadurch gekennzeichnet, daß es eine Teilsequenz von wenigstens sieben Aminosäuren, ausgewählt aus den in Figur 2a₁, 2a₂ oder 2a₃ dargestellten Aminosäuresequenzen aufweist.
- Transportprotein nach Anspruch 1, dadurch gekennzeichnet, daß es eine Teilsequenz von wenigstens 10 Aminosäuren, ausgewählt aus den in Figur 2a₁, 2a₂ oder 2a₃ dargestellten Aminosäuresequenzen aufweist.
- Transportprotein nach Anspruch 1, dadurch gekennzeichnet, daß es eine Teilsequenz von wenigstens 14 Aminosäuren, ausgewählt aus den in Figur 2a₁, 2a₂ oder 2a₃ dargestellten Aminosäuresequenzen aufweist.
- Transportprotein nach Anspruch 1, dadurch gekennzeichnet, daß es die in Figur 2a₁, 2a₂ oder 2a₃ dargestellten Aminosäuresequenzen aufweist.
- DNA-Sequenz, dadurch gekennzeichnet, daß sie für ein Transportprotein nach einem der Ansprüche 1 bis 4 kodiert.
- DNA-Sequenz nach Anspruch 5, dadurch gekennzeichnet, daß sie eine Teilsequenz von wenigstens 21 Basen aus den in Figur 2a₁, 2a₂ oder 2a₃ gezeigten DNA-Sequenzen aufweist.

7. DNA-Sequenz nach Anspruch 5, dadurch gekennzeichnet, daß sie eine Teilsequenz von wenigstens 30 Basen aus den in Figur 2a₁, 2a₂ oder 2a₃ gezeigten DNA-Sequenzen aufweist.
8. DNA-Sequenz nach Anspruch 5, dadurch gekennzeichnet, daß sie eine Teilsequenz von wenigstens 42 Basen aus den in Figur 2a₁, 2a₂ oder 2a₃ gezeigten DNA-Sequenzen aufweist.
9. Verwendung einer DNA-Sequenz nach einem der Ansprüche 5 bis 8 zur Herstellung einer epithelialen Zelllinie, die ein Transportprotein nach einem der Ansprüche 1 bis 4 konstant exprimiert.
10. Epitheliale Zelllinie, die ein Transportprotein nach einem der Ansprüche 1 bis 4 konstant exprimiert.
11. Epitheliale Zelllinie nach Anspruch 10 zur Testung der zu erwartenden renalen und biliären Ausscheidung sowie der intestinalen Resorption von kationischen Pharmaka und/oder Xenobiotika in vitro.
12. Verwendung einer DNA-Sequenz nach einem der Ansprüche 5 bis 8 zur Isolierung von zu Transportproteinen gemäß den Ansprüchen 1 bis 4 homologen Transportproteinen.
13. Verwendung nach Anspruch 12, dadurch gekennzeichnet, daß die Isolierung mit Hilfe der Polymerase Kettenreaktion erfolgt.
14. Verwendung der Transportproteine nach einem der Ansprüche 1 bis 4 und/oder der epithelialen Zelllinie nach den Ansprüchen 10 oder 11 zur Entwicklung von kationischen Signalmolekülen, die an biologisch aktive Verbindungen, wie Pharmaka, angehängt werden können, um deren renale und biliäre Ausscheidung oder ihre intestinale Resorption zu verändern.
15. Verwendung der Transportproteine nach einem der Ansprüche 1 bis 4 und/oder der epithelialen Zelllinie nach den Ansprüchen 10 oder 11 zur Entwicklung von Antikörpern, mit deren Hilfe die Aufnahme von Pharmaka in Nierentubuluszellen blockiert werden kann, um die Nephrotoxizität von kationischen Pharmaka und/oder Xenobiotika zu erniedrigen.
16. Verwendung der Transportproteine nach einem der Ansprüche 1 bis 4 und/oder der epithelialen Zelllinie nach den Ansprüchen 10 oder 11 zur Entwicklung von spezifischen Pharmaka, mit deren Hilfe die Aufnahme von anderen Pharmaka und/oder Xenobiotika in Nierentubuluszellen blockiert werden kann, um die Nephrotoxizität von kationischen Pharmaka zu erniedrigen.
17. Verwendung einer DNA-Sequenz nach einem der Ansprüche 5 bis 8 zur Entwicklung einer Antisense-Nucleotidsequenz, mit deren Hilfe die Aufnahme von Pharmaka und/oder Xenobiotika in Nierentubuluszellen blockiert werden kann, um die Nephrotoxizität von kationischen Pharmaka zu erniedrigen.
18. Verwendung einer DNA-Sequenz nach einem der Ansprüche 5 bis 8 in molekularen Testkits zur Diagnose von molekularen genetischen Defekten in renalen und biliären Kationenausscheidungsmechanismen.
19. Verwendung nach Anspruch 18, dadurch gekennzeichnet, daß das molekulare Testkit diejenigen Komponenten enthält, die zur Durchführung der Polymerase Kettenreaktion benötigt werden.

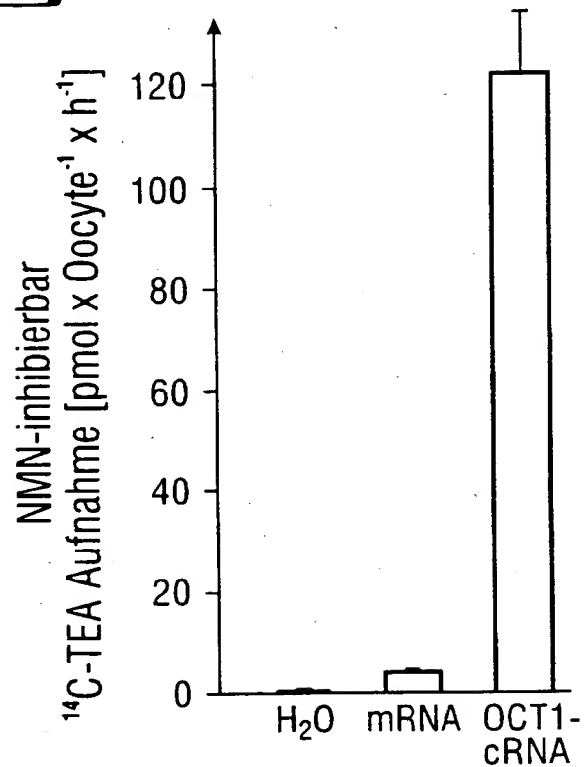
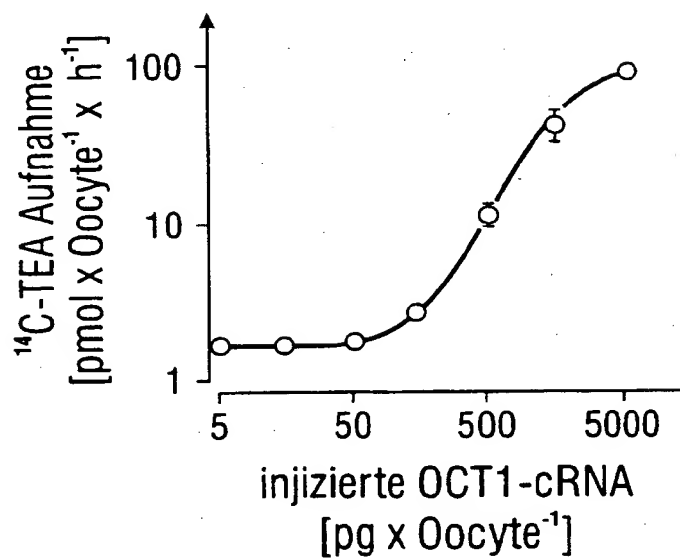
Fig. 1a**Fig. 1****Fig. 1b**

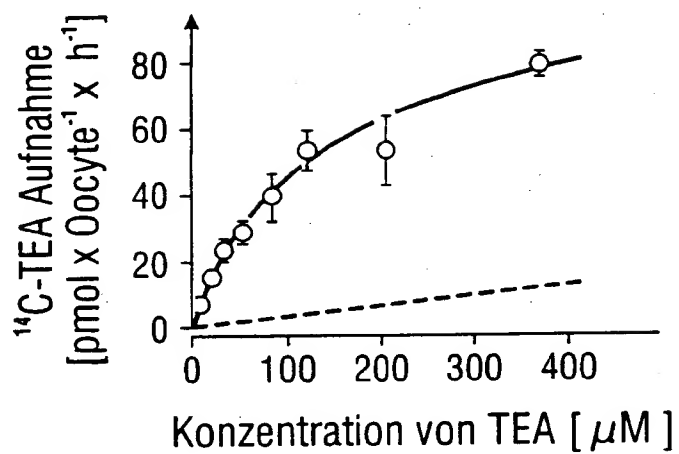
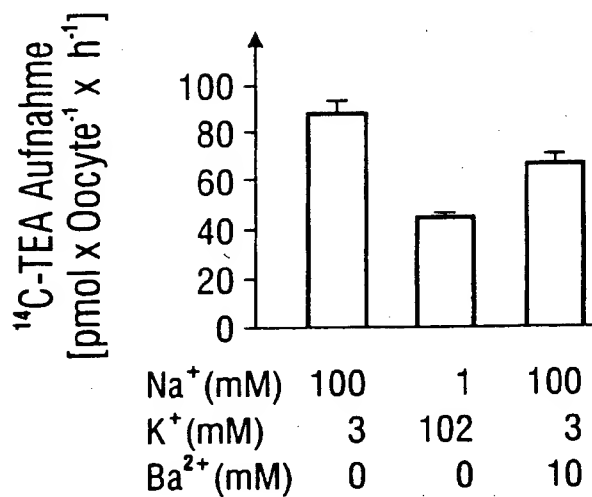
Fig. 1c**Fig. 1**
(Forts.)**Fig. 1d**

Fig. 1e

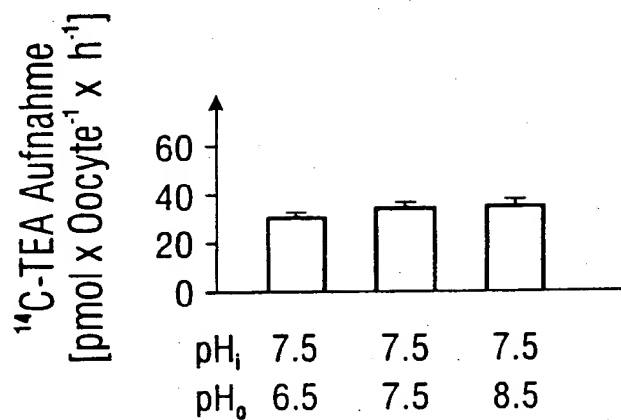


Fig. 1
(Forts.)

Fig. 1f

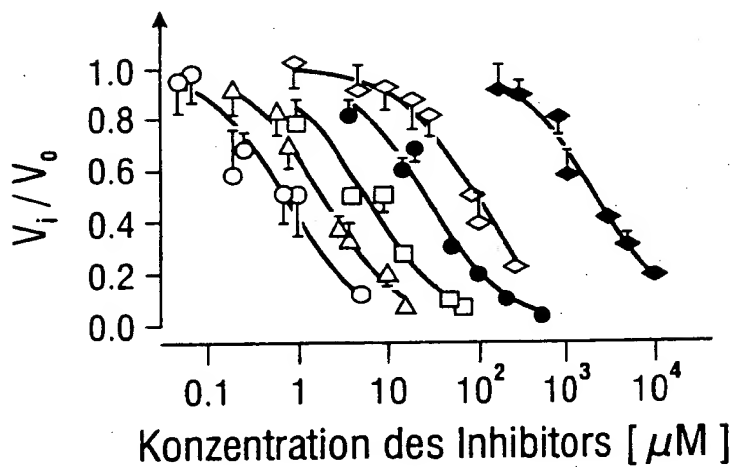


Fig. 2a₁

1 GCAGGCCTGGCTAAACTGGTGAGGGCCCTACCCAGCCATGCCACCGTGGATGATGTCCT
 MetProThrValAspValLeu
 61 GGAGCAAGTTGGAGAGATTGGCTGGTTCCAGAAACAAGCCTTCCTGTTGCTATGCCCTGAT
 9 GluGlnValGlyGluPheGlyTrpPheGlnLysGlnAlaPheLeuLeuLeuCysLeuIle
 121 CTCAGCTTCTTTAGCTCCCATCTATGTGGGCATCGTCTTCCTGGGCTTCACCCCTGGACA
 29 SerAlaSerLeuAlaProIleTyrValGlyIleValPheLeuGlyPheThrProGlyHis
 181 TTATTGCCAGAAATCCTGGGTGGCTGAGCTGAGCCAGCGGTGTGGCTGGAGCCAGGCAGA
 49 TyrCysGlnAsnProGlyValAlaGluLeuSerGlnArgCysGlyTrpSerGlnAlaGlu
 241 GGAGCTGAACACTACACTGTGCCGGGCTGGGACCTTCGGACGAGGCCTCCTTCCTCAGCCA
 69 GluLeuAsnTyrThrValProGlyLeuGlyProSerAspGluAlaSerPheLeuSerGln
 *
 301 GTGCATGAGGTATGAGGTGGACTGGAACCAAGAGCACCCCTTGACTGTGTGGACCCACTGTC
 89 CysMetArgTyrGluValAspTrpAsnGlnSerThrLeuAspCysValAspProLeuSer
 *
 361 CAGCCTGGTTGCCAACAGGAGTCAGTTGCCATTGGGCCCTTCGAGCATGGCTGGGTATA
 109 SerLeuValAlaAlaAsnArgSerGlnLeuProLeuGlyProCysGluHisGlyTrpValTyr
 *
 421 CGACACTCCCGGCTCCTCCATCGTCACTGAGTTTAACCTGGTGTGGAGACGCCCTGGAA
 129 AspThrProGlySerSerIleValThrGluPheAsnLeuValCysGlyAspAlaTrpLys
 481 ACTGGACCTTTTTCAGTCCTGTGTGAACCTTGGGCTTCTTCCTGGGCTCCCTGGTTGTGGG
 149 ValAspLeuPheGlnSerCysValAsnLeuGlyPhePheLeuGlySerLeuValValGly
 541 TTACATTGCAGACAGGTTTGGCCGTAAGCTCTCTCTTGGTGACACCGCTGGTCACATC
 169 TyrIleAlaAspArgPheGlyArgLysLeuCysLeuLeuValThrThrLeuValThrSer

Fig. 2a₁ (Forts.)

601 TGTGTCCGGTGTGCTAAACAGCGGTGGCCCCAGACTATACATCCATGTTGCTCTTTCCGCCT
 189 ValSerGlyValLeuThrAlaValAlaProAspTyrThrSerMetLeuLeuPheArgLeu
 661 GTCGAGGGCATGGTCAGCAAGGCAGCTGGGTGCCGCTATACCTTGATCACAGAGTT
 209 LeuGlnGlyMetValSerLysGlySerTrpValSerGlyTyrThrLeuIleThrGluPhe
 721 TGTGGCTCTGGCTACAGGAGAACGACGGCCATTTGTACCAGATGGCCTTCACAGTGGG
 229 ValGlySerGlyTyrArgArgThrThrAlaIleLeuTyrGlnMetAlaPheThrValGly
 781 GCTAGTGGGGCTTGCCGGGTGGCCTATGCCATTCCAGACTGGCGCTGGCTCCAGCTAGC
 249 LeuValGlyLeuAlaGlyValAlaTyrAlaIleProAspTrpArgTrpLeuGlnLeuAla
 841 TGTGTCCCTGCCTACCTTCCTCTCTCTGCTGTATTACTGTTTGTCCCAGAAATCCCCCG
 269 ValSerLeuProThrPheLeuPheLeuLeuTyrTyrTrpPheValProGluSerProArg
 901 GTGGCTGTTGTCCCAGAGAGAGAACACCGAGCTGTCAAGGATAATGGAGCAAATGACACA
 289 TrpLeuLeuSerGlnLysArgThrThrArgAlaValArgIleMetGluGlnIleAlaGln
 961 GAAGAACGGGAAGTGCTCCTGCTGACCTGAAGATGCTCTGCCCTTGAGGAGGATGCCCTC
 309 LysAsnGlyLysValProProAlaAspLeuLysMetLeuCysLeuGluGluAspAlaSer
 1021 AGAAAGCGAAGTCCTTCGTTTGGCCGACCTGTTCCGCACCTCCCAACCTGAGGAAGCACAC
 329 GluLysArgSerProSerPheAlaAspLeuPheArgThrProAsnLeuArgLysHisThr
 1081 CGTCATCCTGATGATCTATGGTTCTCTTGTGCTGTGCTGTACCAAGGCTCATCATGCA
 349 ValIleLeuMetTyrLeuTrpPheSerCysAlaValLeuTyrGlnGlyLeuIleMetHis
 1141 CGTGGGAGCCACAGGGGCCAACCTCTACCTGGACTTCTTTTATTCTTCTCTGGTGAATT
 369 ValGlyAlaThrGlyAlaAsnLeuTyrLeuAspPhePheTyrSerSerLeuValGluPhe

Fig. 2a₁ (Forts.)

1201	CCCCGGCCCTTCATCATCTCGGTGACGGGGCAGCCCTGCCTCCTCATGATCTTTATCCCGCATGAGCT
389	ProAlaAlaPheIleIleLeuValThrIleAspArgIleGlyArgIleTyrProIleAla
1261	GGCTCGAATCTGGTGACGGGGCAGCCCTGCCTCCTCATGATCTTTATCCCGCATGAGCT
409	AlaSerAsnLeuValThrGlyAlaAlaCysLeuLeuMetIlePheIleProHisGluLeu
1321	GCACTGGTTGAACGTTACCTCGCCTGTCTTGGCCGTATGGGGCCACCATTTGTGCTGCA
429	HisTrpLeuAsnValThrLeuAlaCysLeuGlyArgMetGlyAlaThrIleValLeuGlu
	*
1381	GATGGTCTGCCTGGTGAACGCTGAGCTGTACCTACATTCATCAGGAATCTTTGGGATGAT
449	MetValCysLeuValAsnAlaGluLeuTyrProThrPheIleArgAsnLeuGlyMetMet
1441	GGTATGCTCTGCCCTGTGTGACCTGGGTGGGATCTTCACCCCTTCATGGTGTTCAGGCT
469	ValCysSerAlaLeuCysAspLeuGlyGlyIlePheThrProPheMetValPheArgLeu
1501	GATGGAAGTTTGGCAAGCCCTGCCCTCATTTTGTGGGGTTTTGGGCCTGACTGCTGG
489	MetGluValTrpGlnAlaLeuProLeuIleLeupheGlyValLeuGlyLeuThrAlaGly
1561	GGCCATGACTCTTCTTCTCCAGAGACCAAGGGTGTGGCTTTTGCCTGAGACTATTGAAGA
509	AlaMetThrLeuLeuLeuProGluThrLysGlyValAlaLeuProGluThrIleGluGlu
1621	AGCAGAGAACCTCTGGGGAGGAGAAATCAAAAGGCCAAAGAAACACGATTTACCTTCAGGT
529	AlaGluAsnLeuGlyArgArgLysSerLysAlaLysGluAsnThrIleTyrLeuGlnVal
1681	CCAAACAGGCAAGTCCTCAAGTACCTGACAGGGATGCTGTGCCAGGAGCTGAGTGGCAGA
549	GlnThrGlyLysSerSerSerThr
1741	GAGAAAGGAGGACTTGCCACTTGAGGATGCCAGAGCCCTTTGCCCTTCCAGACTCTCTTG
1801	TATATATGCACCAGGTTCCAAATGAACCTACCAACCTTAAAGACTTTTCTGAAAGCCCCAAA
1861	AAAAAAAAAAAAAAAAAAAAA

Fig. 2a₂

```

      10      20      30      40      50      60
      |      |      |      |      |      |
GAGGGAGACATTGCACCTGGCCACTGCAGCCCAGAGCAGGTCTGGCCACGGCCATGAGCA

      70      80      90      100     110     120
      |      |      |      |      |      |
TGCTGAGCCATCATGCCCACCGTGGATGACATTCTGGAGCAGGTTGGGGAGTCTGGCTGG
      METProThrValAspAspIleLeuGluGlnValGlyGluSerGlyTrp

      130     140     150     160     170     180
      |      |      |      |      |      |
TTCCAGAAGCAAGCCTTCCTCATCTTATGCCTGCTGTCTGGCTGCCTTTGCGCCCATCTGT
PheGlnLysGlnAlaPheLeuIleLeuCysLeuLeuSerAlaAlaPheAlaProIleCys

      190     200     210     220     230     240
      |      |      |      |      |      |
GTGGGCATCGTCTTCCTGGGTTTCACACCTGACCACCACTGCCAGAGCCCTGGGGTGGCT
ValGlyIleValPheLeuGlyPheThrProAspHisHisCysGlnSerProGlyValAla

      250     260     270     280     290     300
      |      |      |      |      |      |
GAGCTGAGCCAGCGCTGTGGCTGGAGCCCTGCGGAGGAGCTGAACTATACAGTGCCAGGC
GluLeuSerGlnArgCysGlyTrpSerProAlaGluGluLeuAsnTyrThrValProGly

      310     320     330     340     350     360
      |      |      |      |      |      |
CTGGGGCCCGCGGGCGAGGCCTTCCTTGGCCAGTGCAGGCGCTATGAAGTGGACTGGAAC
LeuGlyProAlaGlyGluAlaPheLeuGlyGlnCysArgArgTyrGluValAspTrpAsn

      370     380     390     400     410     420
      |      |      |      |      |      |
CAGAGCGCCCTCAGCTGTGTAGACCCCTGGCTAGCCTGGCCACCAACAGGAGCCACCTG
GlnSerAlaLeuSerCysValAspProLeuAlaSerLeuAlaThrAsnArgSerHisLeu

      430     440     450     460     470     480
      |      |      |      |      |      |
CCGCTGGGTCCCTGCCAGGATGGCTGGGTGTATGACACGCCCGGCTCTTCCATCGTCACT
ProLeuGlyProCysGlnAspGlyTrpValTyrAspThrProGlySerSerIleValThr

      490     500     510     520     530     540
      |      |      |      |      |      |
GAGTTCAACCTGGTGTGTGCTGACTCCTGGAAGCTGGACCTCTTTCAGTCCTGTTTGAAT
GluPheAsnLeuValCysAlaAspSerTrpLysLeuAspLeuPheGlnSerCysLeuAsn

      550     560     570     580     590     600
      |      |      |      |      |      |
GCGGGCTTCTTCTTTGGCTCTCTCGGTGTTGGCTACTTTGCAGACAGGTTTGGCCGTAAG
AlaGlyPhePhePheGlySerLeuGlyValGlyTyrPheAlaAspArgPheGlyArgLys

```

Fig. 2a₂ (Forts.)

610	620	630	640	650	660
CTGTGTCTCCTGGGA	CTGTGCTGGTCAAC	GCGGTGTCGGG	CGTGCTCATGGC	CTTCTCG	
LeuCysLeuLeuGly	ThrValLeuValAsn	AlaValSerGly	ValLeuMETAla	PheSer	
670	680	690	700	710	720
CCCAACTACATGTCC	ATGCTGCTCTTCCG	CCTGCTGCAGGG	CCTGGTCAGCAAG	GGGCAAC	
ProAsnTyrMETSer	METLeuLeuPhe	ArgLeuLeuGln	GlyLeuValSer	LysGlyAsn	
730	740	750	760	770	780
TGGATGGCTGGCTAC	ACCCTAATCACAGA	ATTTGTTGGCTCG	GGCTCCAGAAGA	ACGGTG	
TrpMETAlaGly	TyrThrLeuIle	ThrGluPheVal	GlySerGlySer	ArgArgThrVal	
790	800	810	820	830	840
GCGATCATGTACCAG	ATGGCCTTCACGG	TGGGGCTGGTGG	CGCTTACCGGG	GCTGGCCTAC	
AlaIleMETTyrGln	METAlaPheThr	ValGlyLeuVal	AlaLeuThrGly	LeuAlaTyr	
850	860	870	880	890	900
GCCCTGCCTCACTGG	CGCTGGCTGCAG	CTGGCAGTCTCC	CTGCCACCTTCC	TCTTCTCTG	
AlaLeuProHis	TrpArgTrpLeu	GlnLeuAlaVal	SerLeuProThr	PheLeuPheLeu	
910	920	930	940	950	960
CTCTACTACTGGTGT	GTGTGCCGGAGT	CCCCTCGGTGG	CTGTTATCACAAA	AAAGAAACACT	
LeuTyrTyrTrpCys	ValProGluSer	ProArgTrpLeu	LeuLeuSerGln	LysArgAsnThr	
970	980	990	1000	1010	1020
GAAGCAATAAAGATA	ATGGACCACATCG	CTCAAAAGAATGG	GGAAGTTGCCTC	CTGCTGAT	
GluAlaIleLysIle	METAspHisIle	AlaGlnLysAsn	GlyLysLeuPro	ProAlaAsp	
1030	1040	1050	1060	1070	1080
TTAAAGATGCTTCC	CTCGAAGAGGAT	GTCAACCGAAA	AGCTGAGCCCTT	CATTGTCAGAC	
LeuLysMETLeuSer	LeuGluGluAsp	ValThrGluLys	LeuSerProSer	PheAlaAsp	
1090	1100	1110	1120	1130	1140
CTGTTCCGCACGCC	CGCCTGAGGAAG	CGCACCTTCATC	CTGATGTACCTG	TGGTTCACG	
LeuPheArgThrPro	ArgLeuArgLys	ArgThrPheIle	LeuMETTyrLeu	TrpPheThr	
1150	1160	1170	1180	1190	1200
GACTCTGTGCTCTA	TACAGGGGCTCAT	CCTGCACATGGG	CGCCACCAGCGG	GAACCTCTAC	
AspSerValLeuTyr	GlnGlyLeuIle	LeuHisMETGly	AlaThrSerGly	AsnLeuTyr	
1210	1220	1230	1240	1250	1260
CTGGATTTCCTTTA	CTCCGCTCTGGT	CGAAATCCCGGG	GCGCTTCATAGC	CCCTCATCACC	
LeuAspPheLeuTyr	SerAlaLeuVal	GluIleProGly	AlaPheIleAla	LeuIleThr	

Fig. 2a₂ (Forts.)

```

      1270      1280      1290      1300      1310      1320
ATTGACCGCGTGGGCCGCATCTACCCCATGGCCGTGTCAAATTTGTTGGCGGGGGCAGCC
IleAspArgValGlyArgIleTyrProMETAlaValSerAsnLeuLeuAlaGlyAlaAla

      1330      1340      1350      1360      1370      1380
TGCCTCGTCATTTTTATCTCACCTGACCTGCACTGGTTAAACATCATAATCATGTGTGTT
CysLeuValIlePheIleSerProAspLeuHisTrpLeuAsnIleIleIleMETCysVal

      1390      1400      1410      1420      1430      1440
GGCCGAATGGGAATCACCATTGCAATACAAATGATCTGCCTGGTGAATGCTGAGCTGTAC
GlyArgMETGlyIleThrIleAlaIleGlnMETIleCysLeuValAsnAlaGluLeuTyr

      1450      1460      1470      1480      1490      1500
CCCACATTCGTCAGGAACCTCAGAGTGATGGTGTGTTCCCTCCCTGTGTGACATAGGTGGG
ProThrPheValArgAsnLeuArgValMETValCysSerSerLeuCysAspIleGlyGly

      1510      1520      1530      1540      1550      1560
ATAATCACCCCTTCATAGTCTTCAGGCTGAGGGAGGTCTGGCAAGCCTTGCCCTCATT
IleIleThrProPheIleValPheArgLeuArgGluValTrpGlnAlaLeuProLeuIle

      1570      1580      1590      1600      1610      1620
TTGTTTGCGGTGTTGGGCCTGCTTGCCGCGGGAGTGACGCTACTTCTTCCAGAGACCAAG
LeuPheAlaValLeuGlyLeuLeuAlaAlaGlyValThrLeuLeuLeuProGluThrLys

      1630      1640      1650      1660      1670      1680
GGGGACGCTTTGCCAGAGACCATGAAGGACGCCGAGAACCTTGGGAGAAAAGCAAAGCCC
GlyAspAlaLeuProGluThrMETLysAspAlaGluAsnLeuGlyArgLysAlaLysPro

      1690      1700      1710      1720      1730      1740
AAAGAAAACACGATTTACCTTAAGGTCCAAACCTCAGAACCCTCGGGCACCTGAGAGAGA
LysGluAsnThrIleTyrLeuLysValGlnThrSerGluProSerGlyThr

      1750      1760      1770      1780      1790      1800
TGTTTTGCGGCGATGTCGTGTTGGAGGGATGAAGATGGAGTTATCCTCTGCAGAAATTCC

      1810      1820      1830      1840      1850      1860
TAGACGCCTTCACTTCTCTGTATTCTTCCTCATACTTGCTTACCCCAAATTAATATCAG

      1870      1880
TCCTAAAGAAAAAAAAAAAAAAAAAAAA

```

Fig. 2a₃

10	20	30	40	50	60
GGCCCTGCCCTGAAGGCTGGTCACTTGCAGAGGTAAACTCCCCTCTTTGACTTCTGGCCA					
70	80	90	100	110	120
GGGTTTGTGCTGAGCTGGCTGCAGCCGCTCTCAGCCTCGCTCCGGGCACGTCGGGCAGCC					
130	140	150	160	170	180
TCGGGCCCTCCTGCCTGCAGGATCATGCCCACCACCGTGGACGATGTCCTGGAGCATGGA					
					METProThrThrValAspAspValLeuGluHisGly
190	200	210	220	230	240
GGGGAGTTTCACTTTTTCCAGAAGCAAATGTTTTTCTCTGGCTCTGCTCTCGGCTACC					
GlyGluPheHisPhePheGlnLysGlnMETPhePheLeuLeuAlaLeuLeuSerAlaThr					
250	260	270	280	290	300
TTCGCGCCCATCTACGTGGGCATCGTCTTCCTGGGCTTCACCCCTGACCACCGCTGCCGG					
PheAlaProIleTyrValGlyIleValPheLeuGlyPheThrProAspHisArgCysArg					
310	320	330	340	350	360
AGCCCCGGAGTGGCCGAGCTGAGTCTGCGCTGCGGCTGGAGTCCTGCAGAGGAACTGAAC					
SerProGlyValAlaGluLeuSerLeuArgCysGlyTrpSerProAlaGluGluLeuAsn					
370	380	390	400	410	420
TACACGGTGCCGGGCCCAGGACCTGCGGGCGAAGCCTCCCCAAGACAGTGTAGGCGCTAC					
TyrThrValProGlyProGlyProAlaGlyGluAlaSerProArgGlnCysArgArgTyr					
430	440	450	460	470	480
GAGGTGGACTGGAACCAGAGCACCTTTGACTGCGTGGACCCCCTGGCCAGCCTGGACACC					
GluValAspTrpAsnGlnSerThrPheAspCysValAspProLeuAlaSerLeuAspThr					
490	500	510	520	530	540
AACAGGAGCCGCCTGCCACTGGGCCCCTGCCGGGACGGCTGGGTGTACGAGACGCCTGGC					
AsnArgSerArgLeuProLeuGlyProCysArgAspGlyTrpValTyrGluThrProGly					
550	560	570	580	590	600
TCGTCCATCGTCACCGAGTTTAACCTGGTATGTGCCAACTCCTGGATGTTGGACCTATTC					
SerSerIleValThrGluPheAsnLeuValCysAlaAsnSerTrpMETLeuAspLeuPhe					

Fig. 2a₃ (Forts.)

610	620	630	640	650	660
CAGTCATCAGTGAATGTAGGATTCTTTATTGGCTCTATGAGTATCGGCTACATAGCAGAC					
GlnSerSerValAsnValGlyPhePheIleGlySerMETSerIleGlyTyrIleAlaAsp					
670	680	690	700	710	720
AGGTTTGGCCGTAAGCTCTGCCTCCTAACTACAGTCCTCATAAATGCTGCAGCTGGAGTT					
ArgPheGlyArgLysLeuCysLeuLeuThrThrValLeuIleAsnAlaAlaGlyVal					
730	740	750	760	770	780
CTCATGGCCATTTCCCCAACCTATACGTGGATGTTAATTTTCGCTTAATCCAAGGACTG					
LeuMETAlaIleSerProThrTyrThrTrpMETLeuIlePheArgLeuIleGlnGlyLeu					
790	800	810	820	830	840
GTCAGCAAAGCAGGCTGGTTAATAGGCTACATCCTGATTACAGAATTTGTTGGGGGGAGA					
ValSerLysAlaGlyTrpLeuIleGlyTyrIleLeuIleThrGluPheValGlyGlyArg					
850	860	870	880	890	900
TATCGGAGAACAGTGGGGATTTTTTACCAAGTTGCCTATACAGTTGGGCTCCTGGTGCTA					
TyrArgArgThrValGlyIlePheTyrGlnValAlaTyrThrValGlyLeuLeuValLeu					
910	920	930	940	950	960
GCTGGGGTGGCTTACGCACTTCCTCACTGGAGGTGGTTGCAGTTCACAGTTGCTCTGCCC					
AlaGlyValAlaTyrAlaLeuProHisTrpArgTrpLeuGlnPheThrValAlaLeuPro					
970	980	990	1000	1010	1020
AACTTCTTCTTCTTGCTCTATTACTGGTGCATACCTGAGTCTCCCAGGTGGCTGATCTCC					
AsnPhePhePheLeuLeuTyrTyrTrpCysIleProGluSerProArgTrpLeuIleSer					
1030	1040	1050	1060	1070	1080
CAGAATAAGAATGCTGAAGCCATGAGAATCATTAAAGCACATCGCAAAGAAAAATGGAAAA					
GlnAsnLysAsnAlaGluAlaMETArgIleIleLysHisIleAlaLysLysAsnGlyLys					
1090	1100	1110	1120	1130	1140
TCTCTACCCGCCTCCCTTCAGCGCCTGAGACTTGAAGAGGAACTGGCAAGAAATTGAAC					
SerLeuProAlaSerLeuGlnArgLeuArgLeuGluGluGluThrGlyLysLysLeuAsn					
1150	1160	1170	1180	1190	1200
CCTTCATTTCTTGA CTGGTCAGAACTCCTCAGATAAGGAAACATACTATGATATTGATG					
ProSerPheLeuAspLeuValArgThrProGlnIleArgLysHisThrMETIleLeuMET					
1210	1220	1230	1240	1250	1260
TACAACTGGTTCACGAGCTCTGTGCTCTACCAGGGCCTCATCATGCACATGGGCCTTGCA					
TyrAsnTrpPheThrSerSerValLeuTyrGlnGlyLeuIleMETHisMETGlyLeuAla					

Fig. 2a₃ (Forts.)

```

      1270      1280      1290      1300      1310      1320
      |         |         |         |         |         |
GGTGACAATATCTACCTGGATTCTTCTACTCTGCCCTGGTTGAATTCCCAGCTGCCTTC
GlyAspAsnIleTyrLeuAspPhePheTyrSerAlaLeuValGluPheProAlaAlaPhe

      1330      1340      1350      1360      1370      1380
      |         |         |         |         |         |
ATGATCATCCTCATTATCGACCGCATCGGACGCCGTTACCCTTGGGCTGCATCAAATATG
METIleIleLeuIleIleAspArgIleGlyArgArgTyrProTrpAlaAlaSerAsnMET

      1390      1400      1410      1420      1430      1440
      |         |         |         |         |         |
GTTGCAGGGGCAGCCTGTCTGGCCTCAGTTTTTATACCTGGTGATCTACAATGGCTAAAA
ValAlaGlyAlaAlaCysLeuAlaSerValPheIleProGlyAspLeuGlnTrpLeuLys

      1450      1460      1470      1480      1490      1500
      |         |         |         |         |         |
ATTATTATCTCATGCTTGGGAAGAATGGGGATCACAATGGCCTATGAGATAGTCTGCCTG
IleIleIleSerCysLeuGlyArgMETGlyIleThrMETAlaTyrGluIleValCysLeu

      1510      1520      1530      1540      1550      1560
      |         |         |         |         |         |
GTCAATGCTGAGCTGTACCCACATTCATTAGGAATCTTGGCGTCCACATCTGTTCTCTCA
ValAsnAlaGluLeuTyrProThrPheIleArgAsnLeuGlyValHisIleCysSerSer

      1570      1580      1590      1600      1610      1620
      |         |         |         |         |         |
ATGTGTGACATTGGTGGCATCATCAGCCATTCTTGGTCTACCGGCTCACTAACATCTGG
METCysAspIleGlyGlyIleIleThrProPheLeuValTyrArgLeuThrAsnIleTrp

      1630      1640      1650      1660      1670      1680
      |         |         |         |         |         |
CTTGAGCTCCCGCTGATGGTTTTTCGGCGTACTTGGCTTGGTTGCTGGAGGTCTGGTGCTG
LeuGluLeuProLeuMETValPheGlyValLeuGlyLeuValAlaGlyGlyLeuValLeu

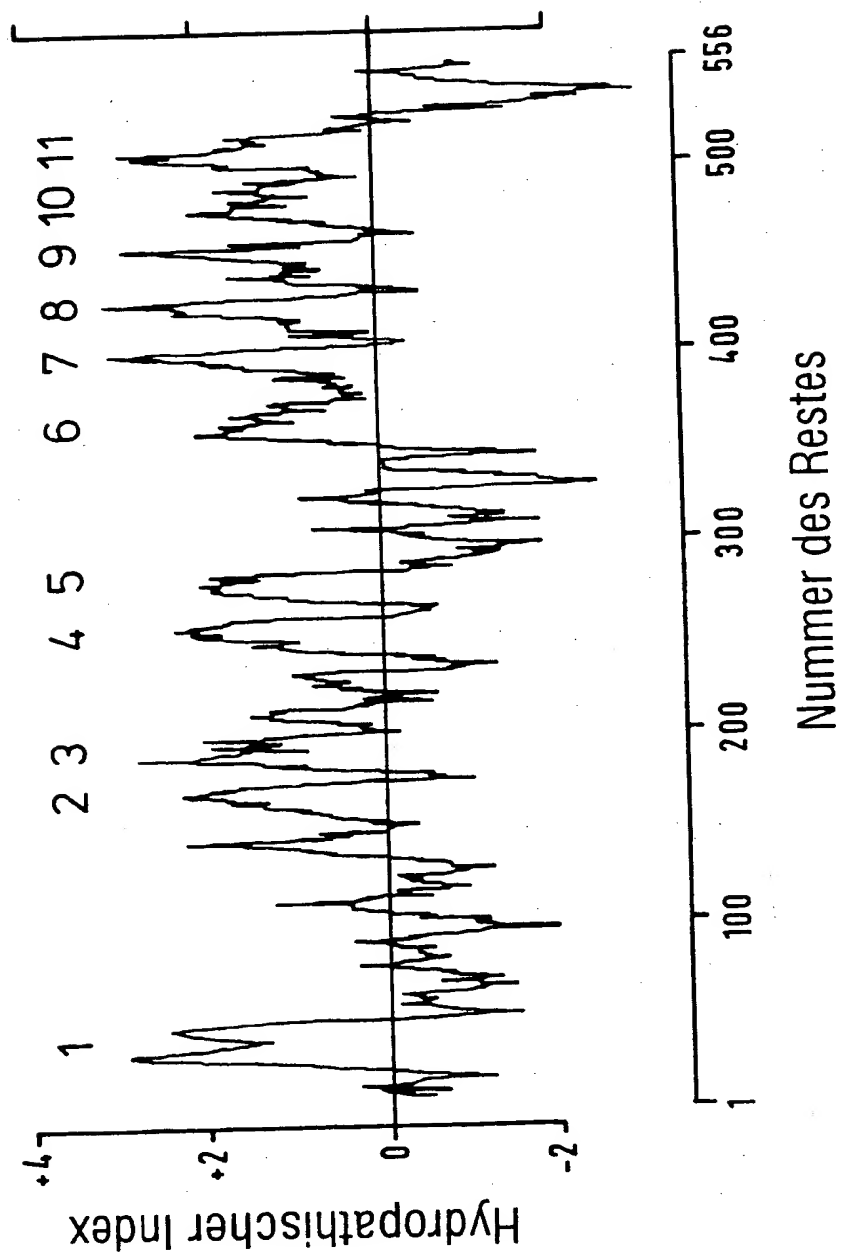
      1690      1700      1710      1720      1730      1740
      |         |         |         |         |         |
TTGCTTCCAGAACTAAAGGGAAAGCTTTGCCTGAGACCATCGAGGAAGCCGAAAATATG
LeuLeuProGluThrLysGlyLysAlaLeuProGluThrIleGluGluAlaGluAsnMET

      1750      1760      1770      1780      1790      1800
      !         !         !         !         !         !
CAAAGACCAAGAAAAATAAAGAAAAGATGATTTACCTCCAAGTTCAGAACTAGACATT
GlnArgProArgLysAsnLysGluLysMETIleTyrLeuGlnValGlnLysLeuAspIle

      1810      1820      1830      1840      1850      1860
      !         !         !         !         !         !
CCATTGAACTAAGAAGAGAGACCGTTGCTGCTGTCATGACCTAGCTTTATGGCAGCAAGA
ProLeuAsn

      1870      1880      1890
      !         !         !
CCAAAAGTAGAAATCCCTGCACTCATCACAAGCCC

```

Fig. 2b

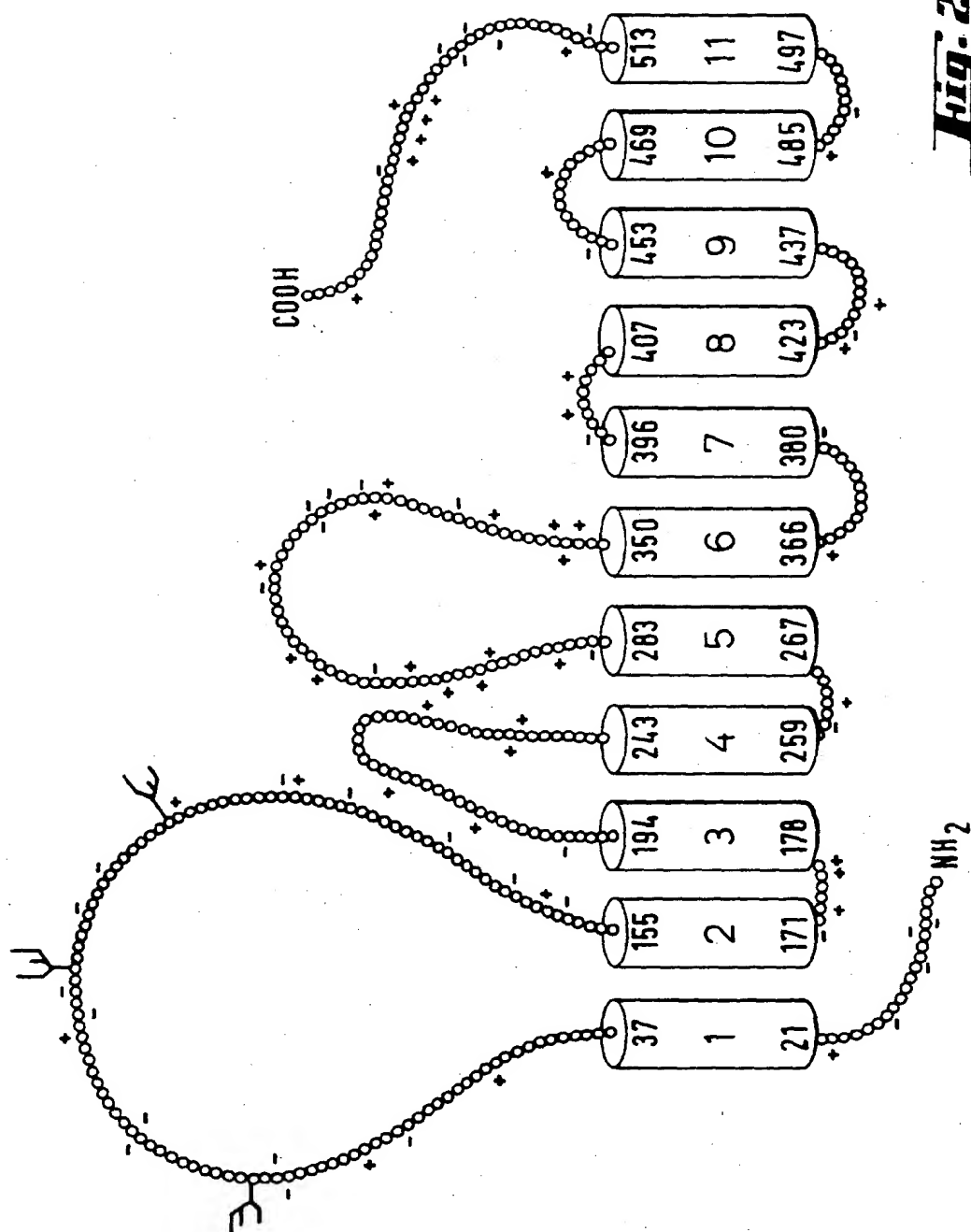
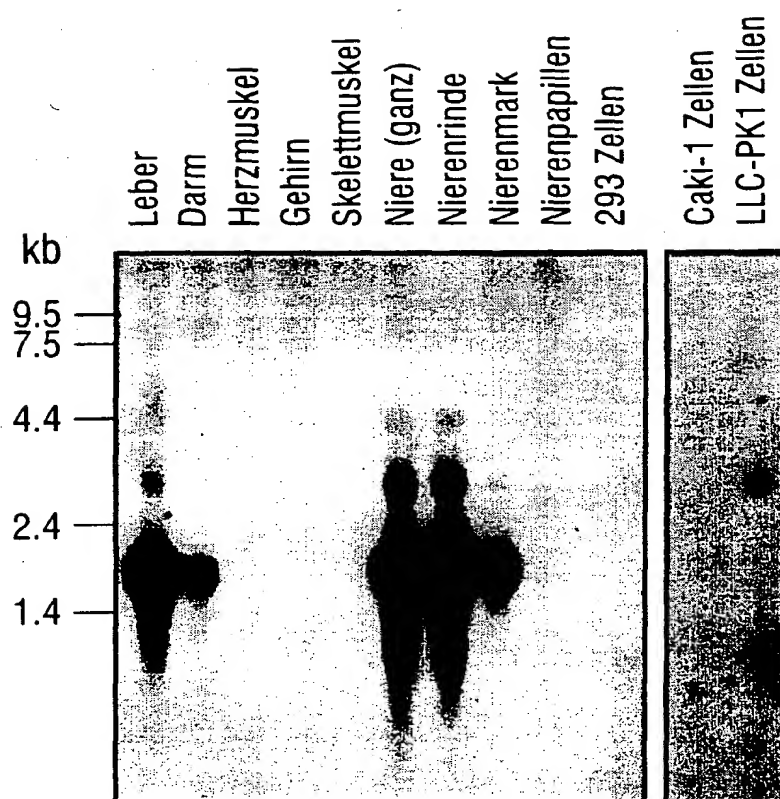
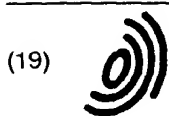


Fig. 2c

Fig. 3





Europäisches Patentamt

European Patent Office

Office européen des brevets



(11)

EP 0 699 753 A3

(12)

EUROPÄISCHE PATENTANMELDUNG

(88) Veröffentlichungstag A3:
18.11.1998 Patentblatt 1998/47

(43) Veröffentlichungstag A2:
06.03.1996 Patentblatt 1996/10

(21) Anmeldenummer: 95110631.9

(22) Anmeldetag: 07.07.1995

(51) Int. Cl.⁶: C12N 15/12, C07K 14/705,
C12N 5/10, C07K 16/18,
C12N 15/11, C12Q 1/00,
G01N 33/50

(84) Benannte Vertragsstaaten:
AT BE CH DE DK ES FR GB GRIE IT LI LU NL PT
SE

(30) Priorität: 13.07.1994 DE 4424577

(71) Anmelder:
HOECHST AKTIENGESELLSCHAFT
65929 Frankfurt am Main (DE)

(72) Erfinder:
• Koepsell, Hermann, Prof. Dr.
D-97072 Würzburg (DE)
• Gründeman, Dirk, Dr.
D-69123 Heidelberg (DE)
• Gorboulev, Valentin, Dr.
D-97078 Würzburg (DE)

(54) **Transportprotein, das den Transport von kationischen Xenobiotika und/oder Pharmaka bewirkt, dafür kodierende DNA-Sequenzen und deren Verwendung**

(57) Es wurde ein Transportprotein kloniert, das in Leber- und Nierenepithelzellen sowie in Darmzellen vorkommt und für den Transport von kationischen Pharmaka und/oder Xenobiotika verantwortlich ist. Dieses Transportprotein wurde durch die DNA und die Amino-

säuresequenz näher beschrieben und es werden verschiedene Verwendungen offenbart, die insbesondere für die Entwicklung von neuen Medikamenten von großer Bedeutung sind.

Fig. 2a

```
1      GCAGGCCTGGCTAAACTGGTGAGGGCCCTACCCAGCCATGCCACCCGATGATGTCCT
      MetProThrValAspAspValLeu
61      GGAGCAAGTTGGAGAGTTTGGCTGGTTCCAGAAACAAGCCTTCCTGTTGCTATGCCTGAT
9      GluGlnValGlyGluPheGlyTrpPheGlnLysGlnAlaPheLeuLeuLeuCysLeuIle
121     CTCAGCTTCTTTAGCTCCCATCTATGTGGGCATCGTCTTCTGGGCTTCACCCCTGGACA
29     SerAlaSerLeuAlaProIleTyrValGlyIleValPheLeuGlyPheThrProGlyHis
181     TTATTGCCAGAATCCTGGGGTGGCTGAGCTGAGCCAGCGGTGTGGCTGGAGCCAGGCAGA
49     TyrCysGlnAsnProGlyValAlaGluLeuSerGlnArgCysGlyTrpSerGlnAlaGlu
241     GGAGCTGAACACTGTGCGGGGCTGGGACCTTCGGACGAGGCCCTCCTCCTCAGCCA
69     GluLeuAsnTyrThrValProGlyLeuGlyProSerAspGluAlaSerPheLeuSerGln
      *
301     GTGCATGAGGTATGAGGTGGACTGGAACAGAGCACCTTGACTGTGTGACCCACTGTC
89     CysMetArgTyrGluValAspTrpAsnGlnSerThrLeuAspCysValAspProLeuSer
      *
361     CAGCCTGGTTGCCAACAGGAGTCAGTTGCCATTTGGGCCCCCTGCCAGCATGGCTGCCTATA
109     SerLeuValAlaAsnArgSerGlnLeuProLeuGlyProCysGluHisGlyTrpValTyr
      *
421     CGACACTCCCGGCTCCTCCATCGTCACTGAGTTTAACTGGTGTGTGAGAGCGCCTGGAA
129     AspThrProGlySerSerIleValThrGluPheAsnLeuValCysGlyAspAlaTrpLys
481     AGTGGACCTTTTTCAGTCCCTGTGAACTTGGGCTTCTTCTGGGCTCCCTGGTTGTGGG
149     ValAspLeuPheGlnSerCysValAsnLeuGlyPhePheLeuGlySerLeuValValGly
541     TTACATTGCAGACAGGTTTGGCCGTAAGCTCTGTCTCTTGGTGACACGCTGGTCACATC
169     TyrIleAlaAspArgPheGlyArgLysLeuCysLeuLeuValThrThrLeuValThrSer
```

EP 0 699 753 A3



Europäisches
Patentamt

EUROPÄISCHER RECHERCHENBERICHT

Nummer der Anmeldung
EP 95 11 0631

EINSCHLÄGIGE DOKUMENTE			
Kategorie	Kennzeichnung des Dokuments mit Angabe, soweit erforderlich, der maßgeblichen Teile	Betrifft Anspruch	KLASSIFIKATION DER ANMELDUNG (Int.Cl.6)
P, X	GRUNDEMANN D ET AL: "Drug excretion mediated by a new prototype of polyspecific *transporter*." NATURE, DEC 8 1994, 372 (6506) P549-52, ENGLAND, XP002077625 * das ganze Dokument *	1-19	C12N15/12 C07K14/705 C12N5/10 C07K16/18 C12N15/11 C12Q1/00 G01N33/50
A	WO 93 08261 A (UNIV EMORY ; UNIV DUKE (US)) 29. April 1993 * das ganze Dokument *	1	
			RECHERCHIERTE SACHGEBIETE (Int.Cl.6)
			C12N C07K C12Q G01N
Der vorliegende Recherchenbericht wurde für alle Patentansprüche erstellt			
Recherchenort MÜNCHEN		Abschlußdatum der Recherche 16. September 1998	
		Prüfer Hillenbrand, G	
<p>KATEGORIE DER GENANNTEN DOKUMENTE</p> <p>X : von besonderer Bedeutung allein betrachtet Y : von besonderer Bedeutung in Verbindung mit einer anderen Veröffentlichung derselben Kategorie A : technologischer Hintergrund O : mündliche Offenbarung P : Zwischenliteratur</p> <p>T : der Erfindung zugrunde liegende Theorien oder Grundsätze E : älteres Patentdokument, das jedoch erst am oder nach dem Anmeldedatum veröffentlicht worden ist D : in der Anmeldung angeführtes Dokument L : aus anderen Gründen angeführtes Dokument & : Mitglied der gleichen Patentfamilie, übereinstimmendes Dokument</p>			

EPO FORM/1503 03 92 (P4/C03)